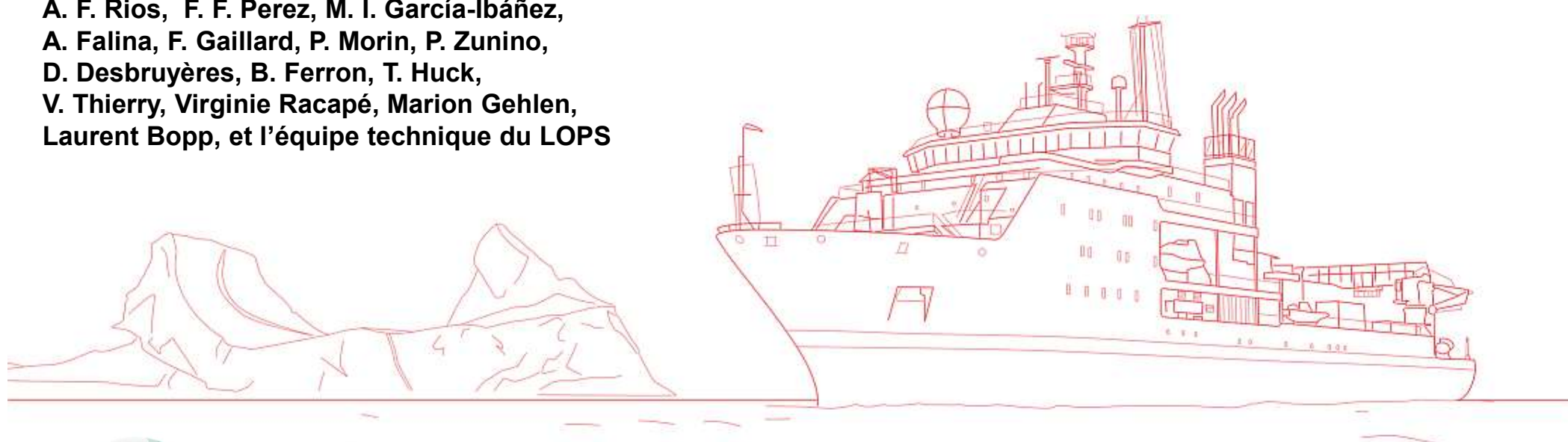


Comprendre la circulation en Atlantique Nord pour comprendre l'évolution du climat

P. Lherminier, H. Mercier, N. Daniault,

A. F. Rios, F. F. Perez, M. I. García-Ibáñez,







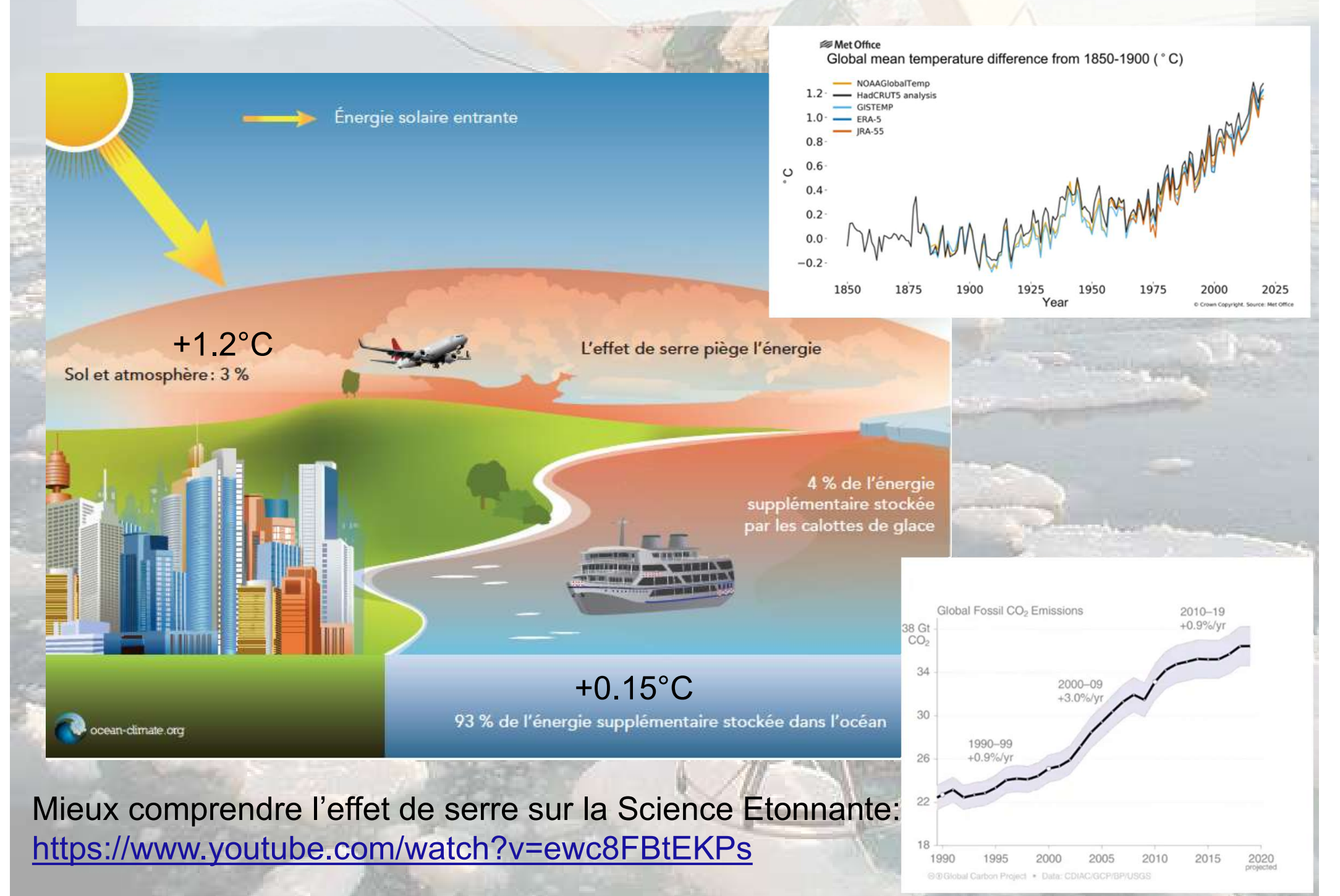




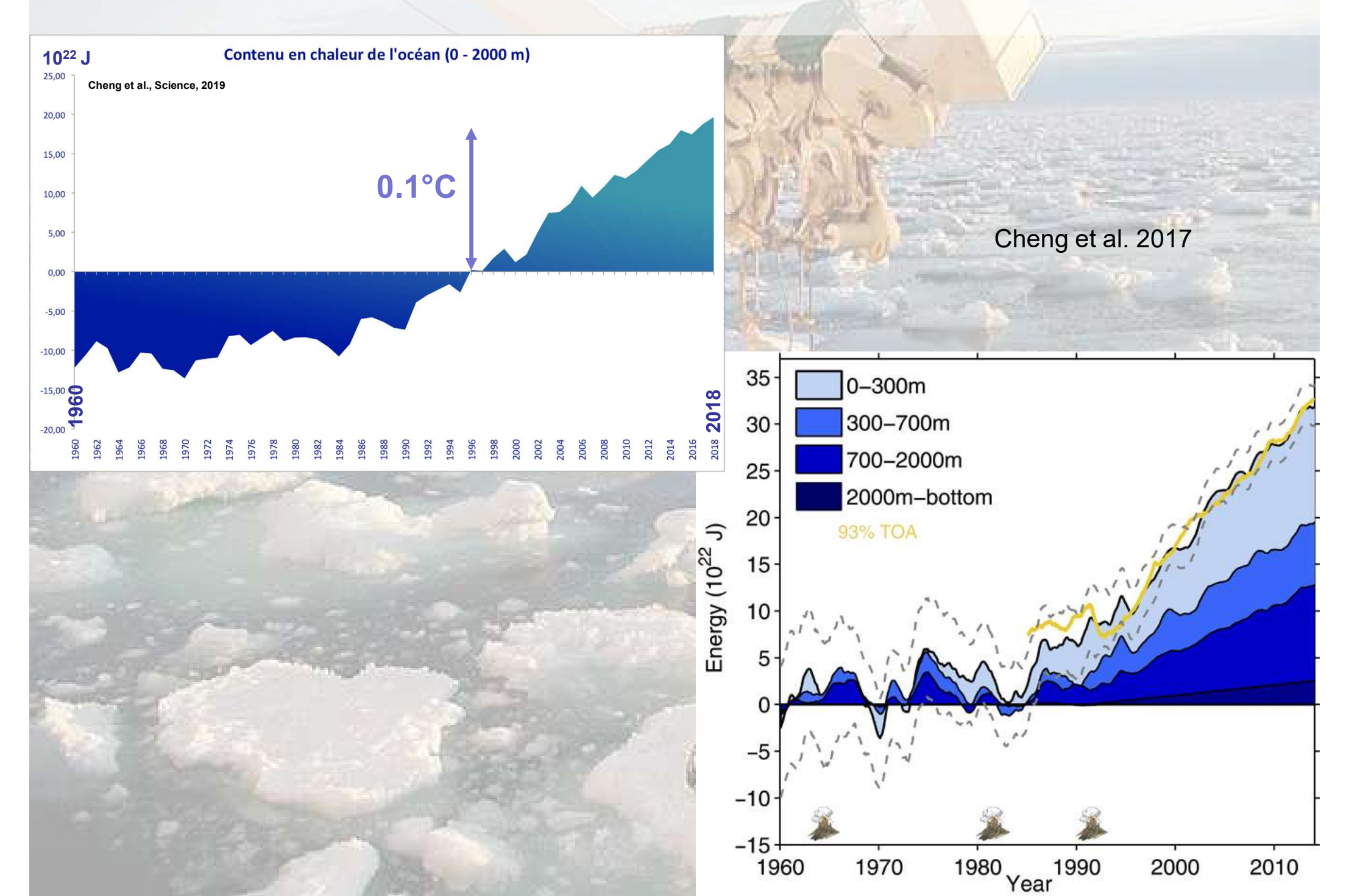




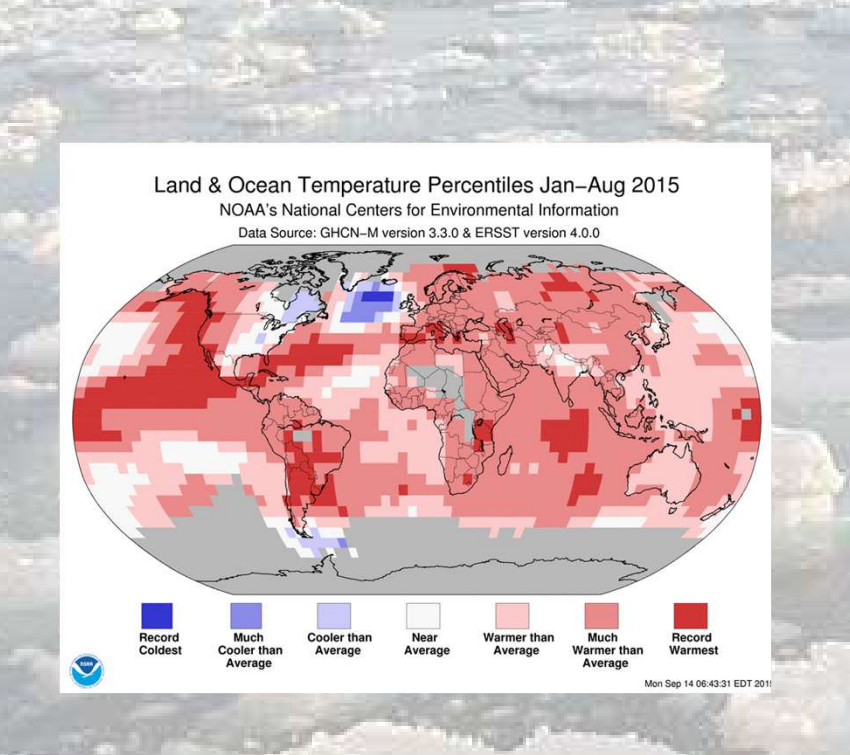
L'effet de serre

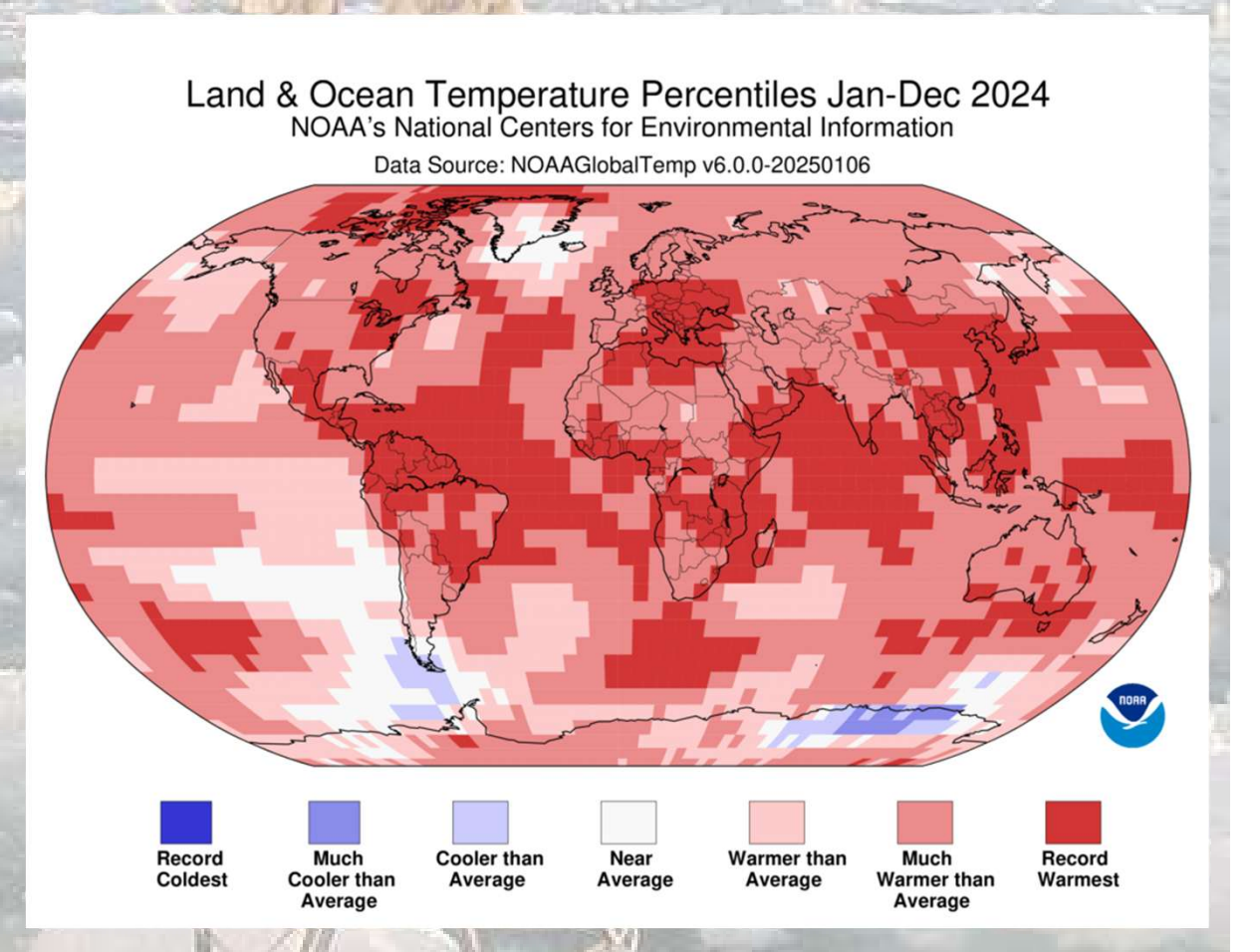


Distribution verticale du réchauffement de l'océan



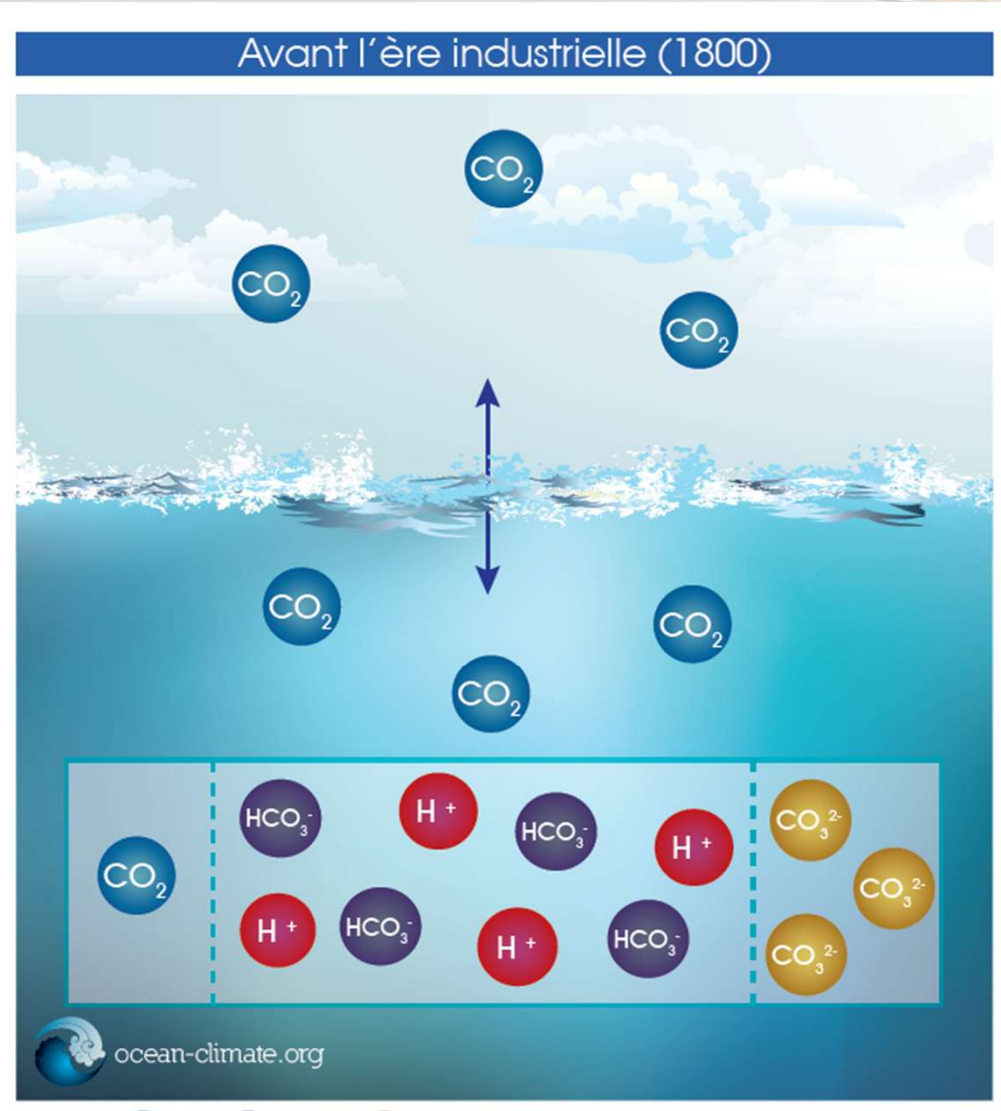
Distribution spatiale du réchauffement de l'océan





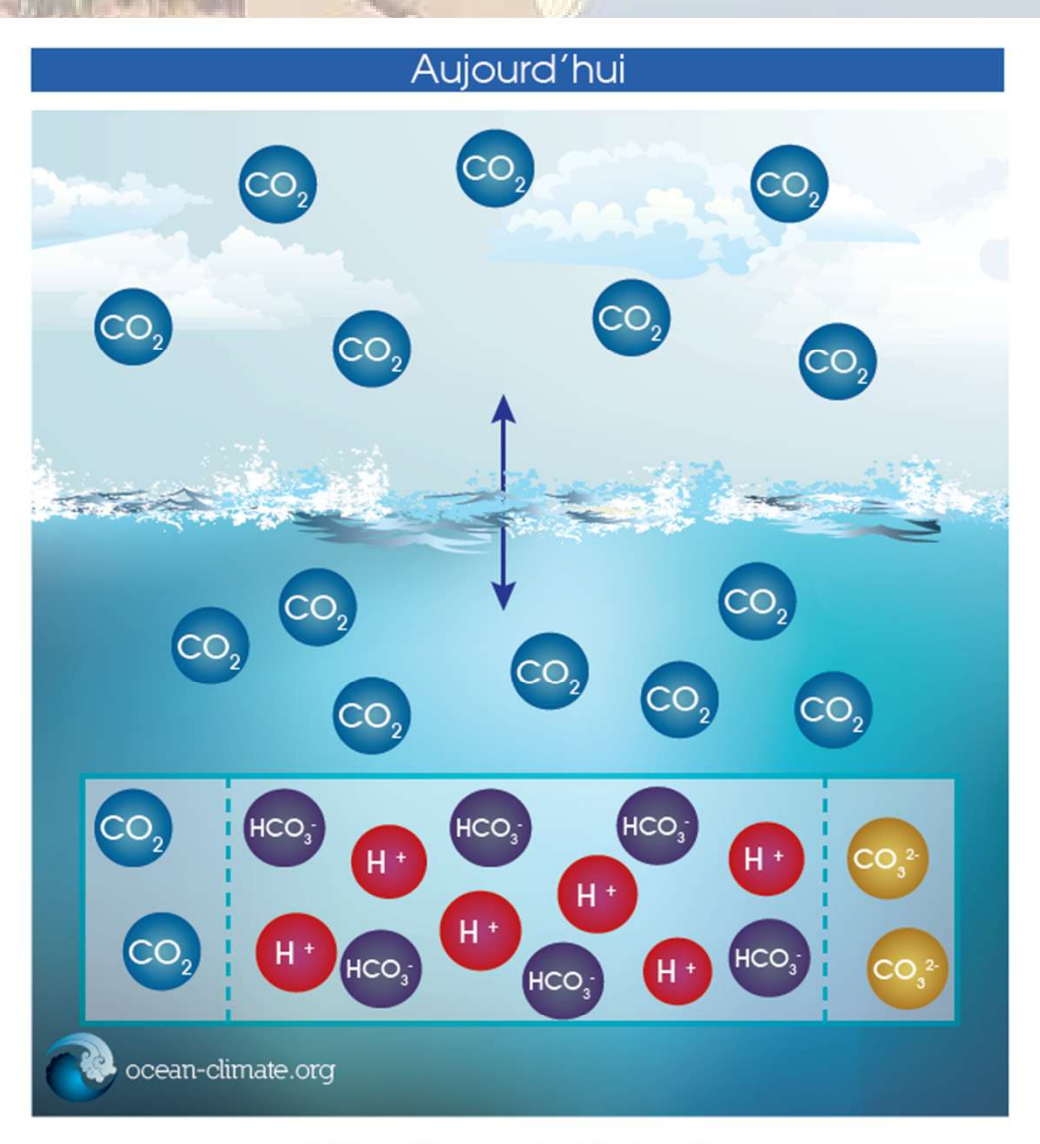
NOAA National Centers for Environmental Information, Monthly Global Climate Report for Annual 2024, published online January 2025, retrieved from https://www.ncei.noaa.gov/access/metadata/landing-page/bin/iso?id=gov.noaa.ncdc:C00672

L'acidication de l'océan, c'est quoi ?





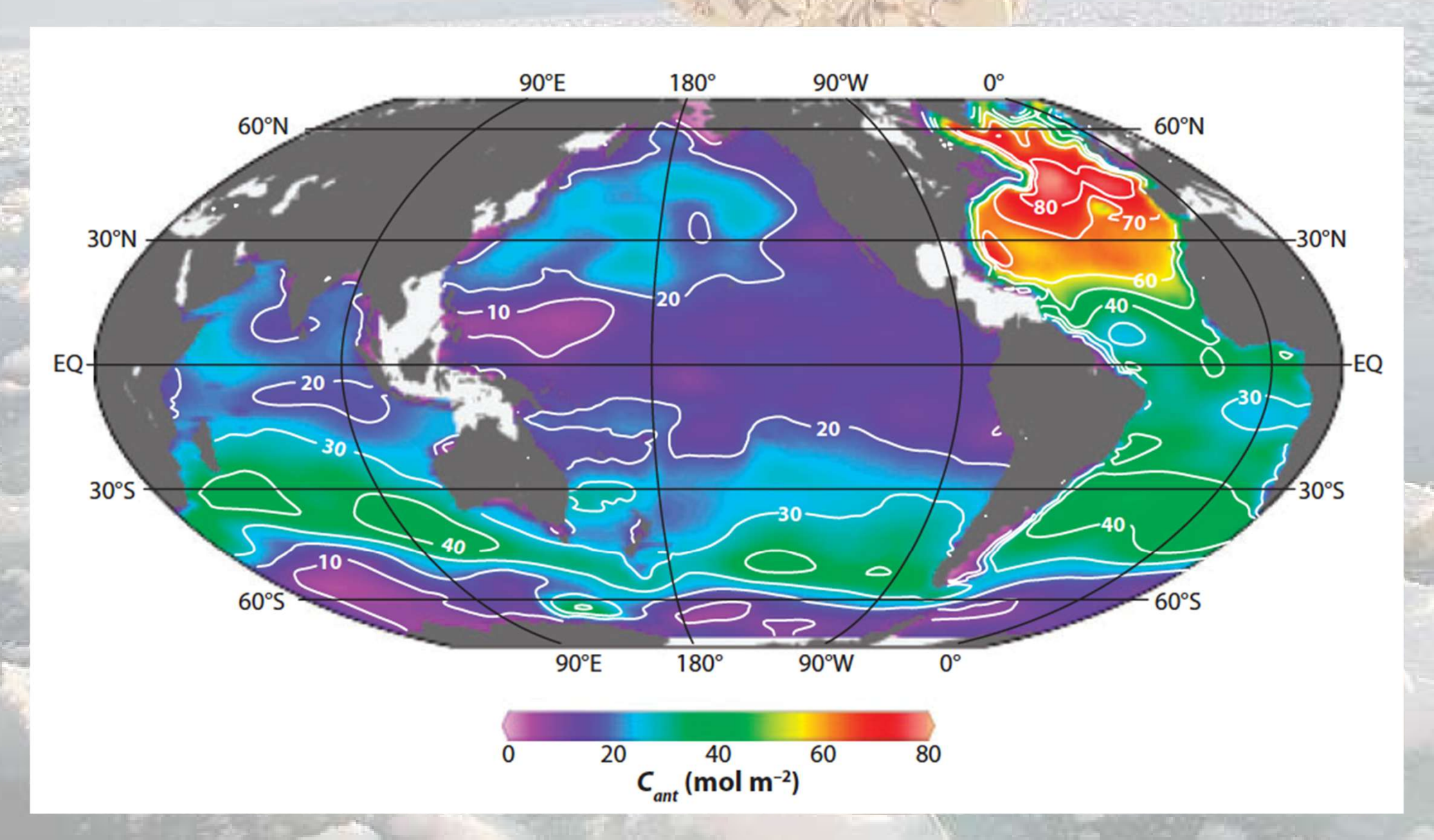
$$CO_2 + H_2O \leftrightarrow HCO_3^- + H^+ \leftrightarrow CO_3^{2-} + 2 H^+$$



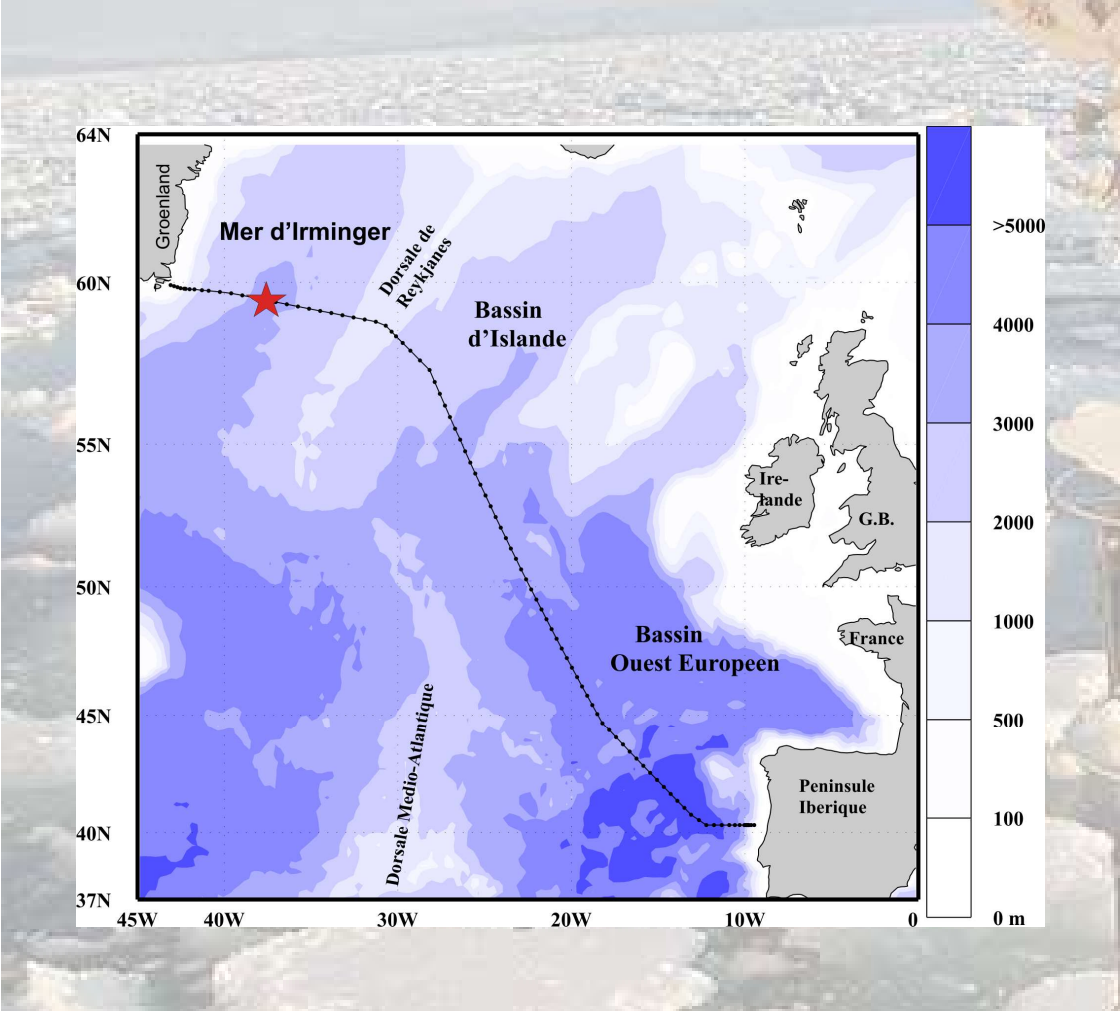
L'équilibre est déplacé:

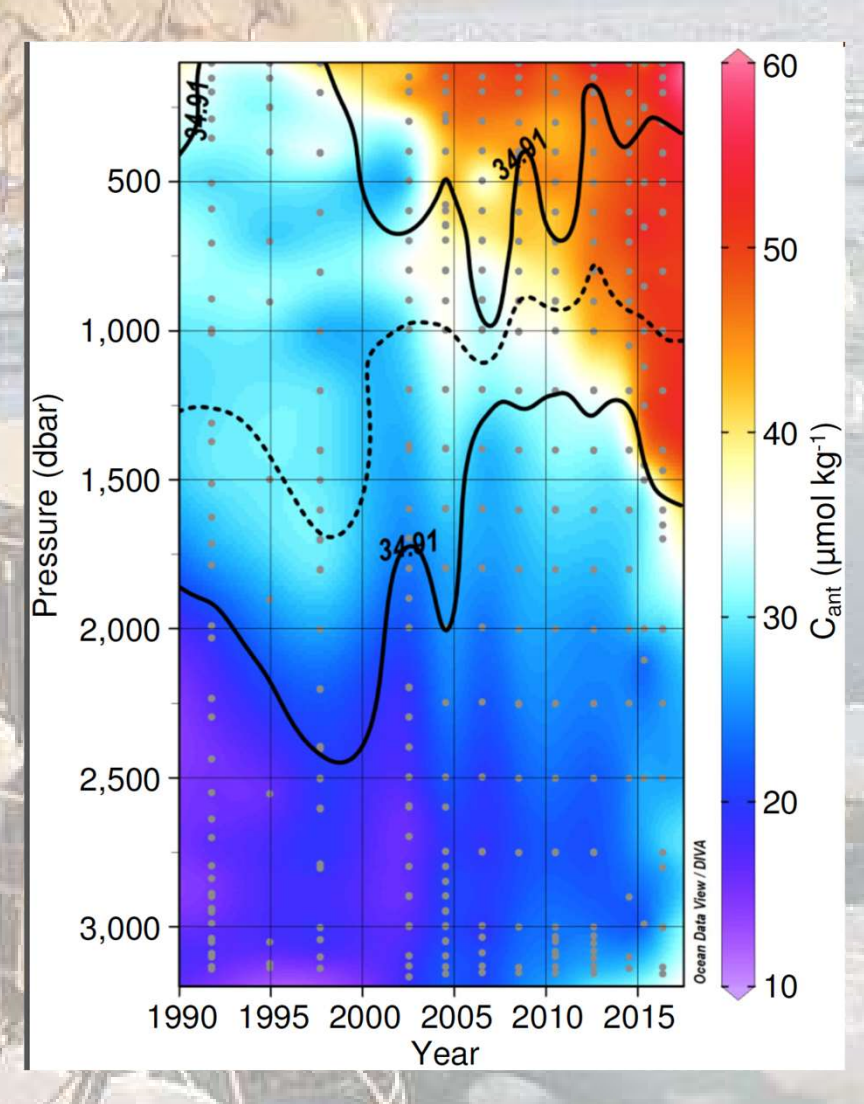


Distribution spatiale du « stockage » de CO₂ anthopogénique (C_{ant})



Distribution verticale du C_{ant} au large du Groenland





Quelques conséquences des changements dans l'océan

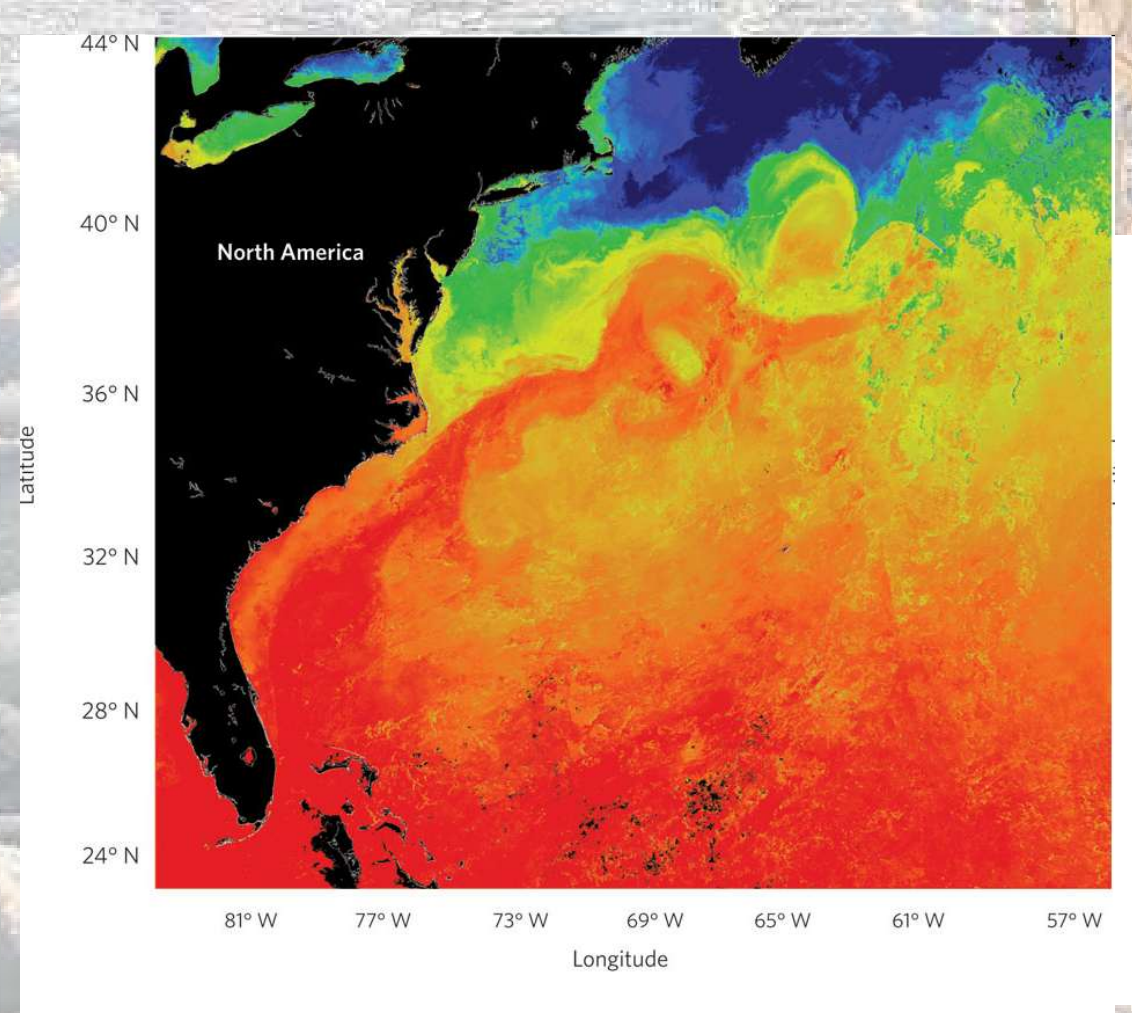
- Fonte de la banquise et des glaciers côtiers
- Montée du niveau de la mer (par dilatation thermique et fonte des glaces terrestres)
- Changement du cycle de l'eau (précipitations, sécheresse)
- Intensification des cyclones
- Migration des espèces marines
- Adaptation (ou pas) des espèces utilisant les carbonates (coraux, bivalves, phytoplancton...)
- Biodiversité marine



Les premiers navires de recherche



1980: la révolution satellitaire



Le Gulf Stream

Température de surface NASA-MODIS Image composite 13-21/05/2006 Richard G. Williams, Nature 2012

Aujourd'hui, nous avons accès à plusieurs propriétés de la <u>surface</u> de l'océan depuis l'espace: la température, la salinité, la couleur de la mer (chlorophylle, sédiments), les courants, l'étendue de la banquise, mais aussi, par la hauteur de la surface de la mer, on estime la profondeur de l'océan!

Coordination à l'échelle internationale

40°S

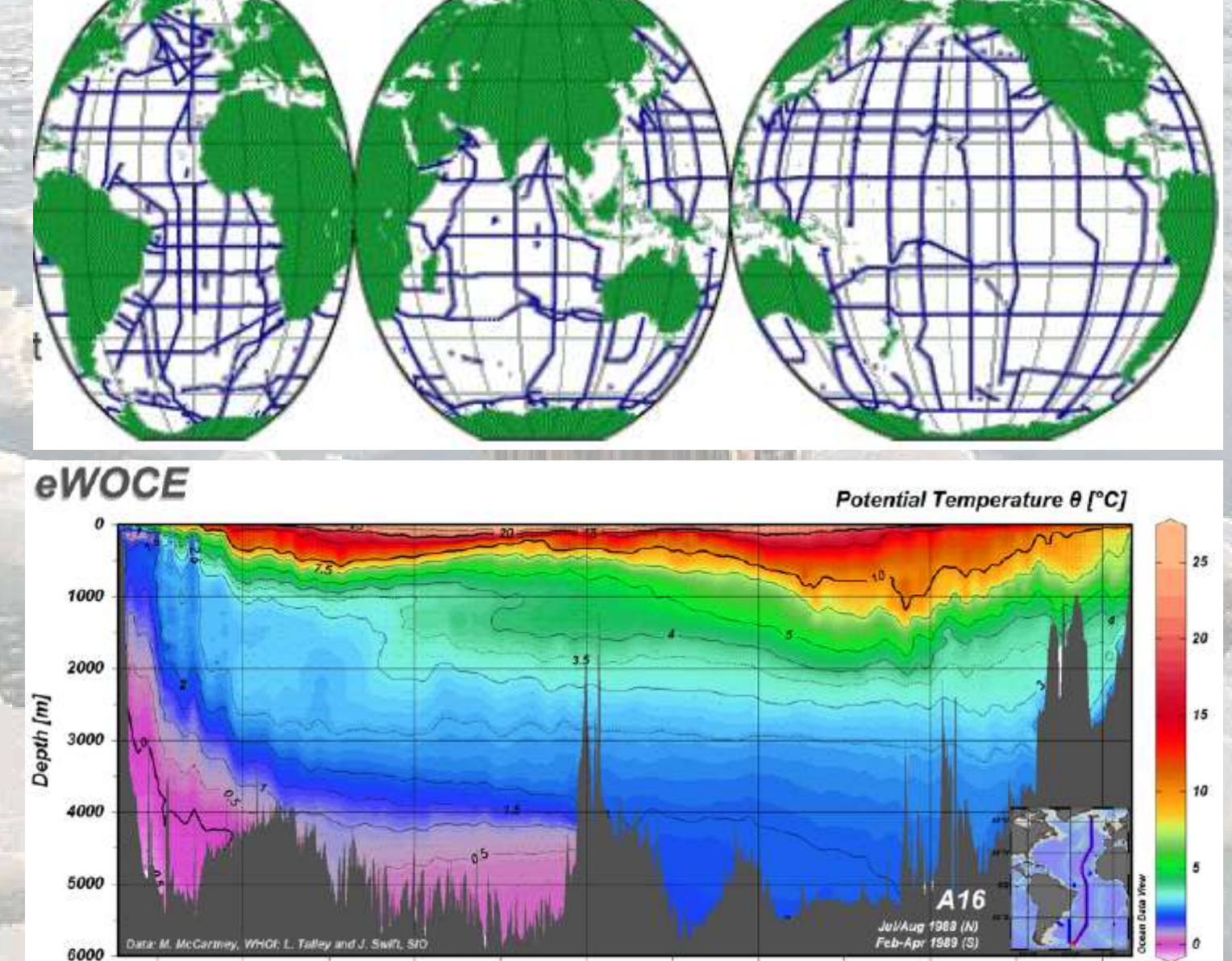
20°S

World Ocean Circulation Experiment (1990-1998)

suivi de CLIVAR (2000-)

puis de Go-SHIP (2010-20..)

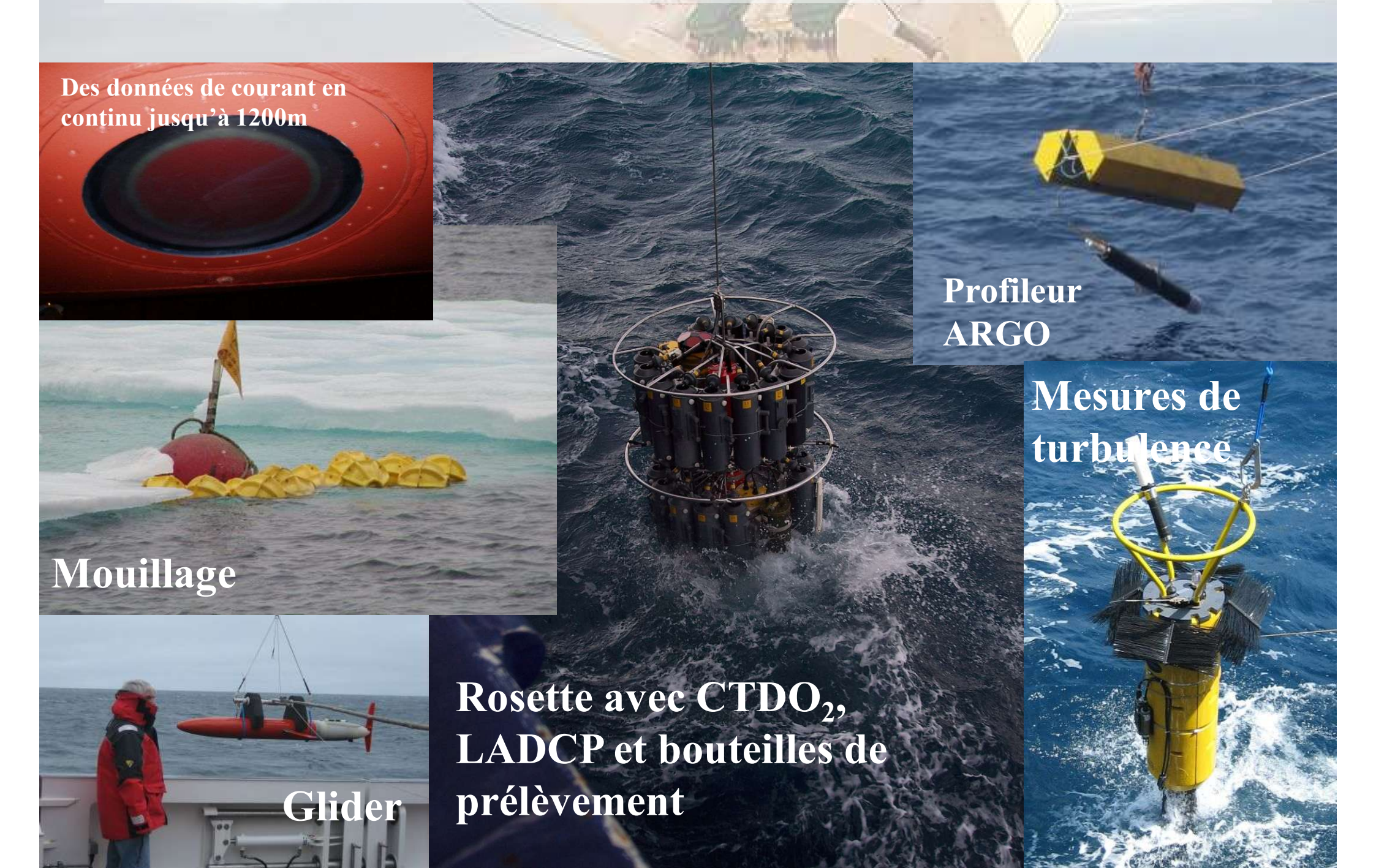
Emergence des 1ères bases de données internationales



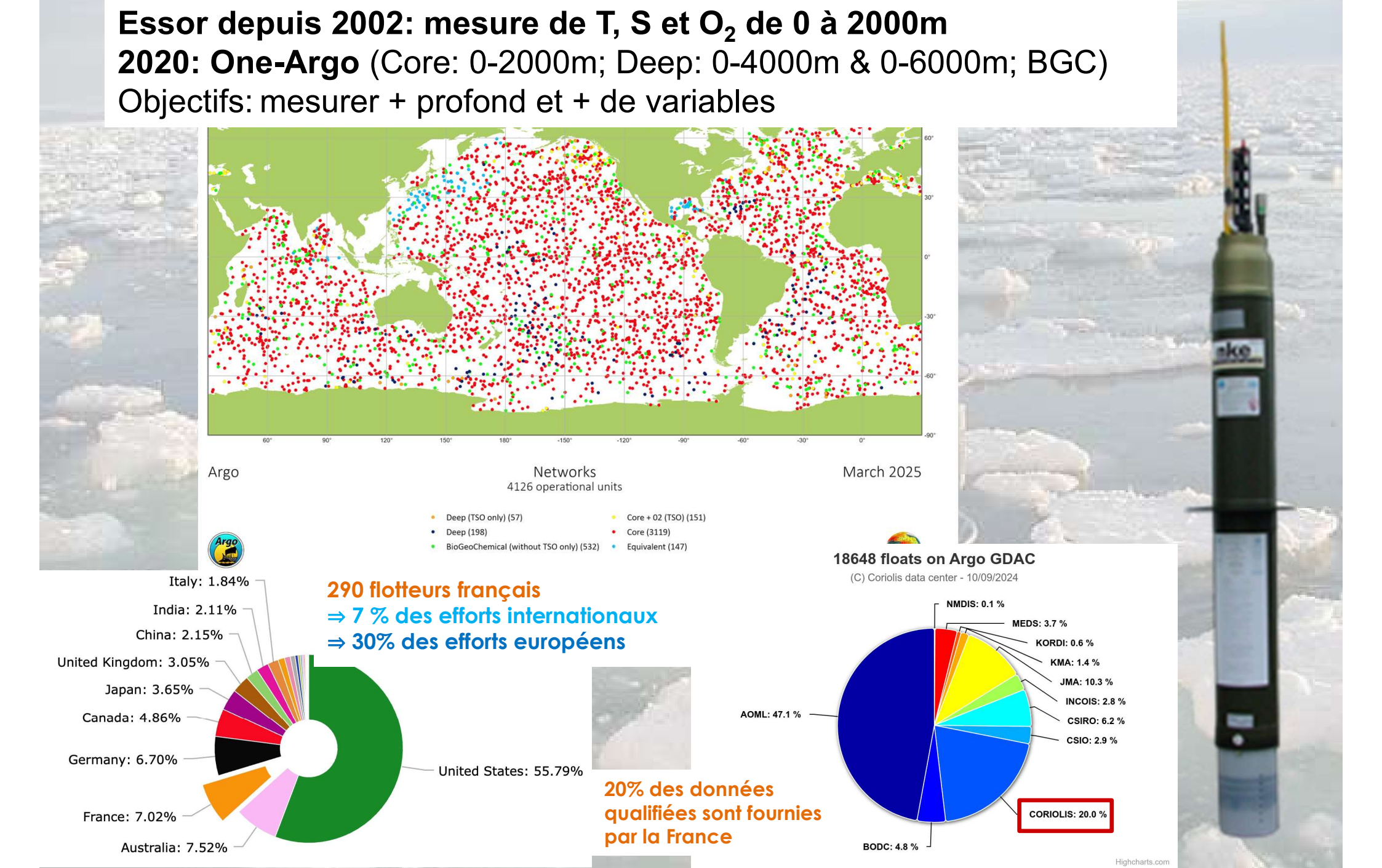
EQ

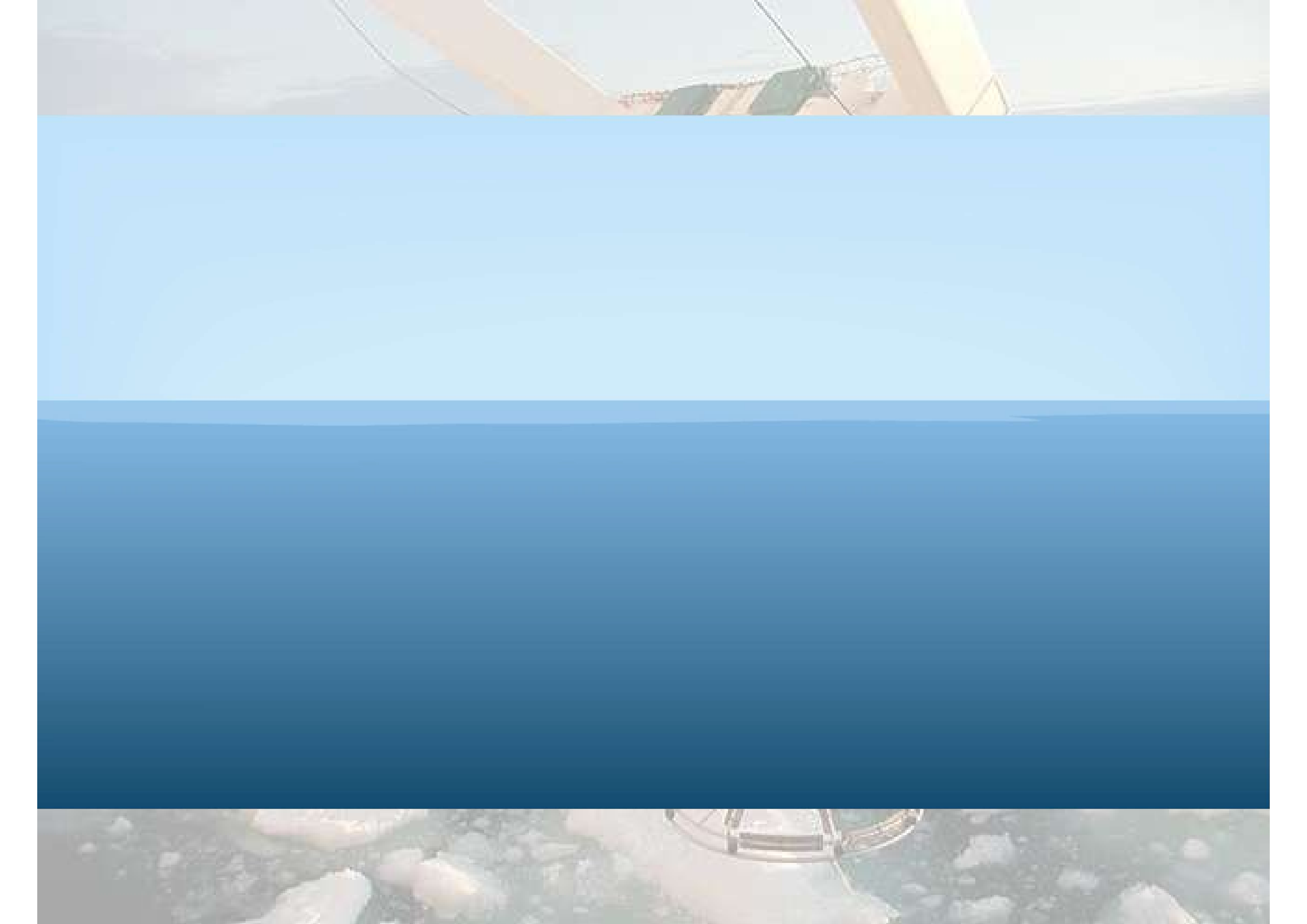
40°N

Développements technologiques



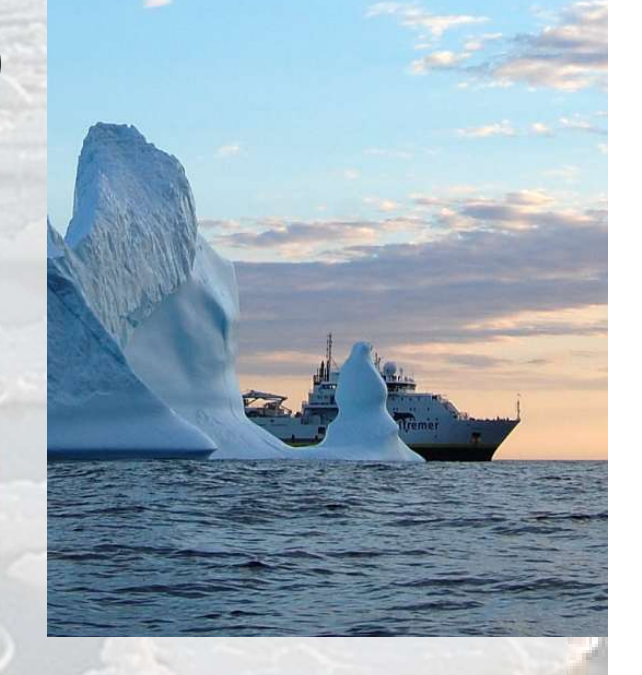
Profileurs Argo: un grand pas en avant





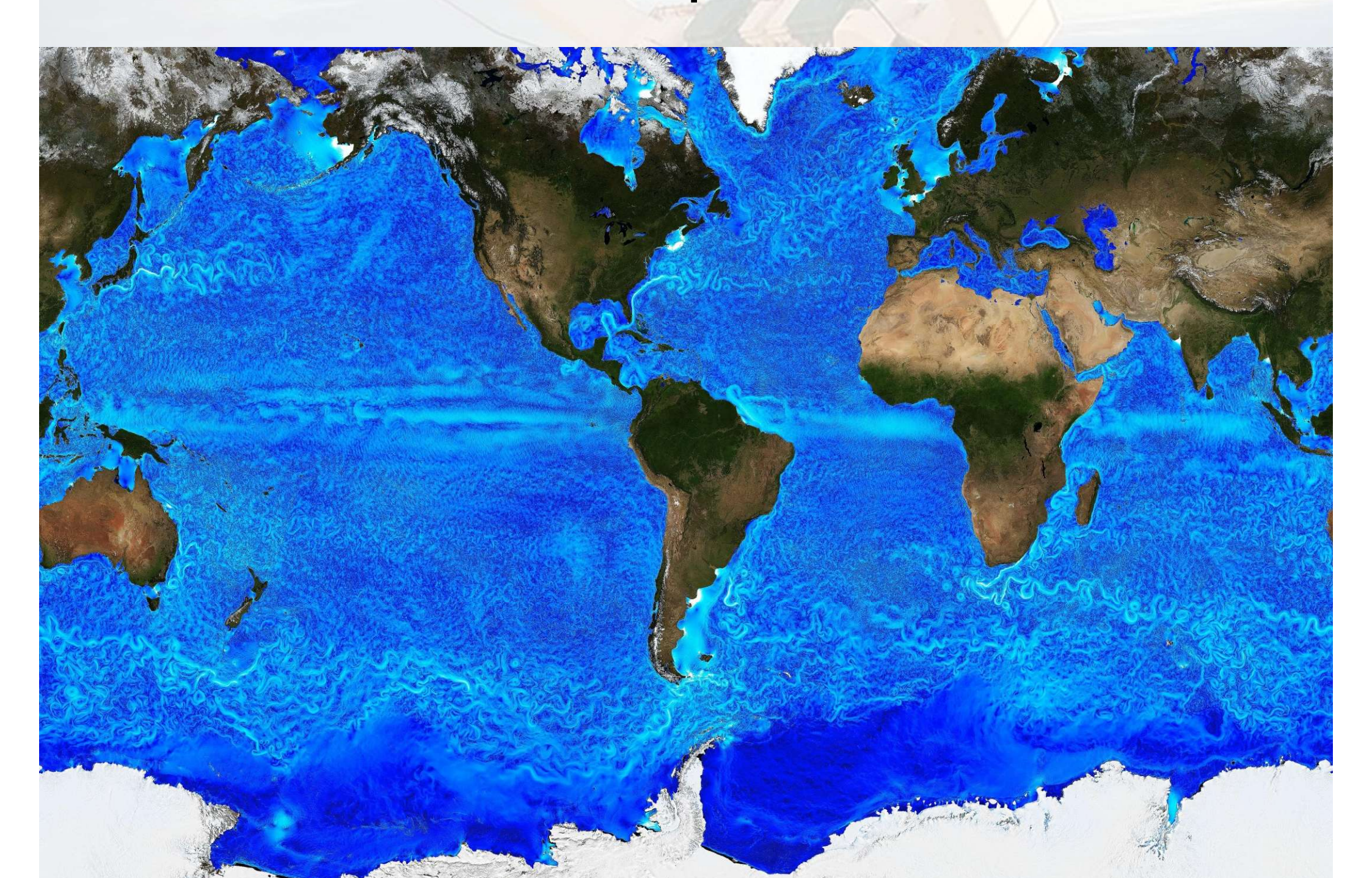
Trois raisons de continuer les mesures par les navires océanographiques

- Précision (⇒ qualification Argo)
- Profondeur
- Diversité des mesures



La coordination des réseaux d'observations et des bases de données se fait en France et en Europe par les infrastructures de recherche sur l'océan

Des modèles numériques haute résolution





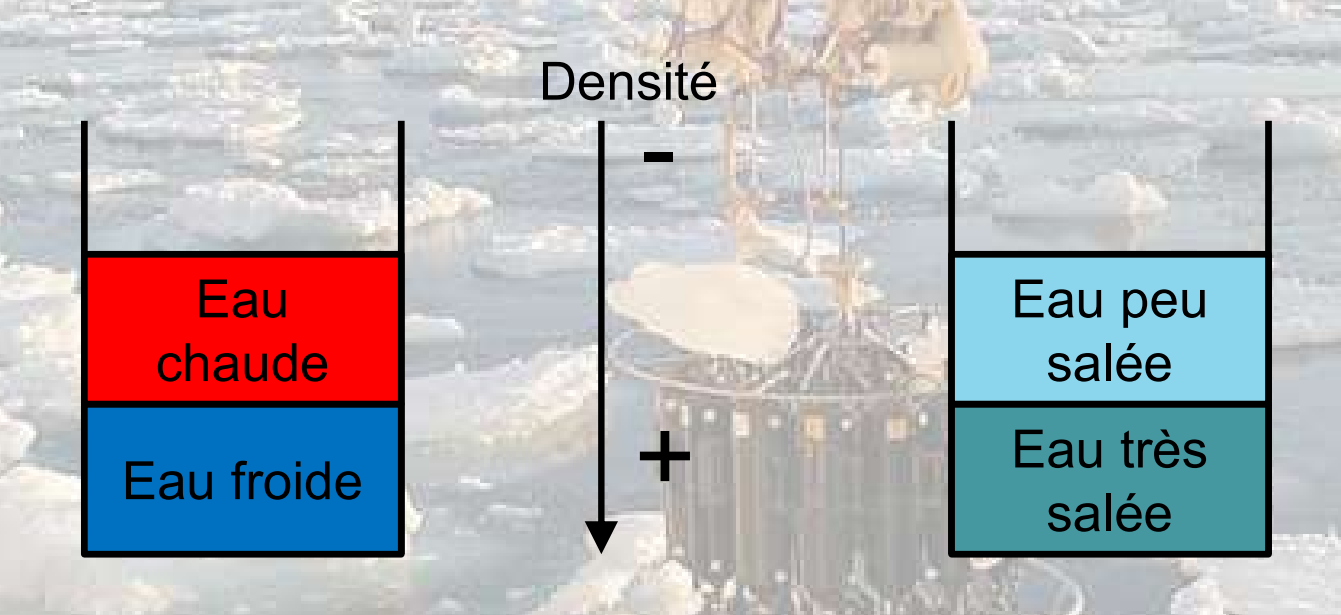
Mais que mesure t'on dans l'océan?

- Les variables physiques:
 - Pression (profondeur) \u00e4
 - Température
 - Salinité
 - Courants
- Les variables biogéochimiques:
 - Oxygène dissous
 - Macro-nutritifs
 - pH, alkalinité, carbone organique et inorganique

Densité

- Traceurs transitoires (fréons, ...)
- Les variables biologiques (Chlor-a, TEI...)

La densité de l'eau de mer

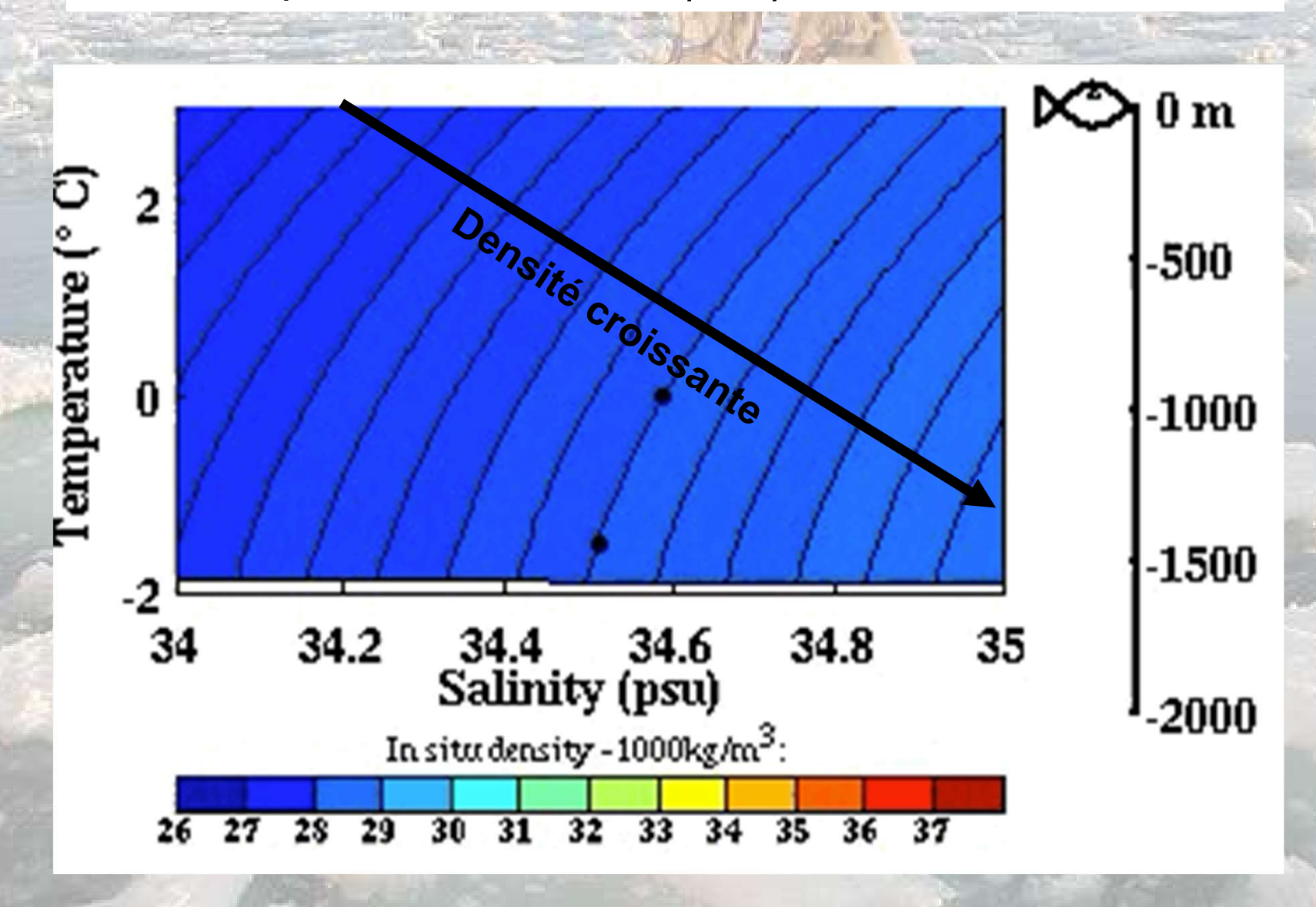


Dans l'océan, la densité de l'eau dépend de sa température et de sa salinité de façon non-linéaire.

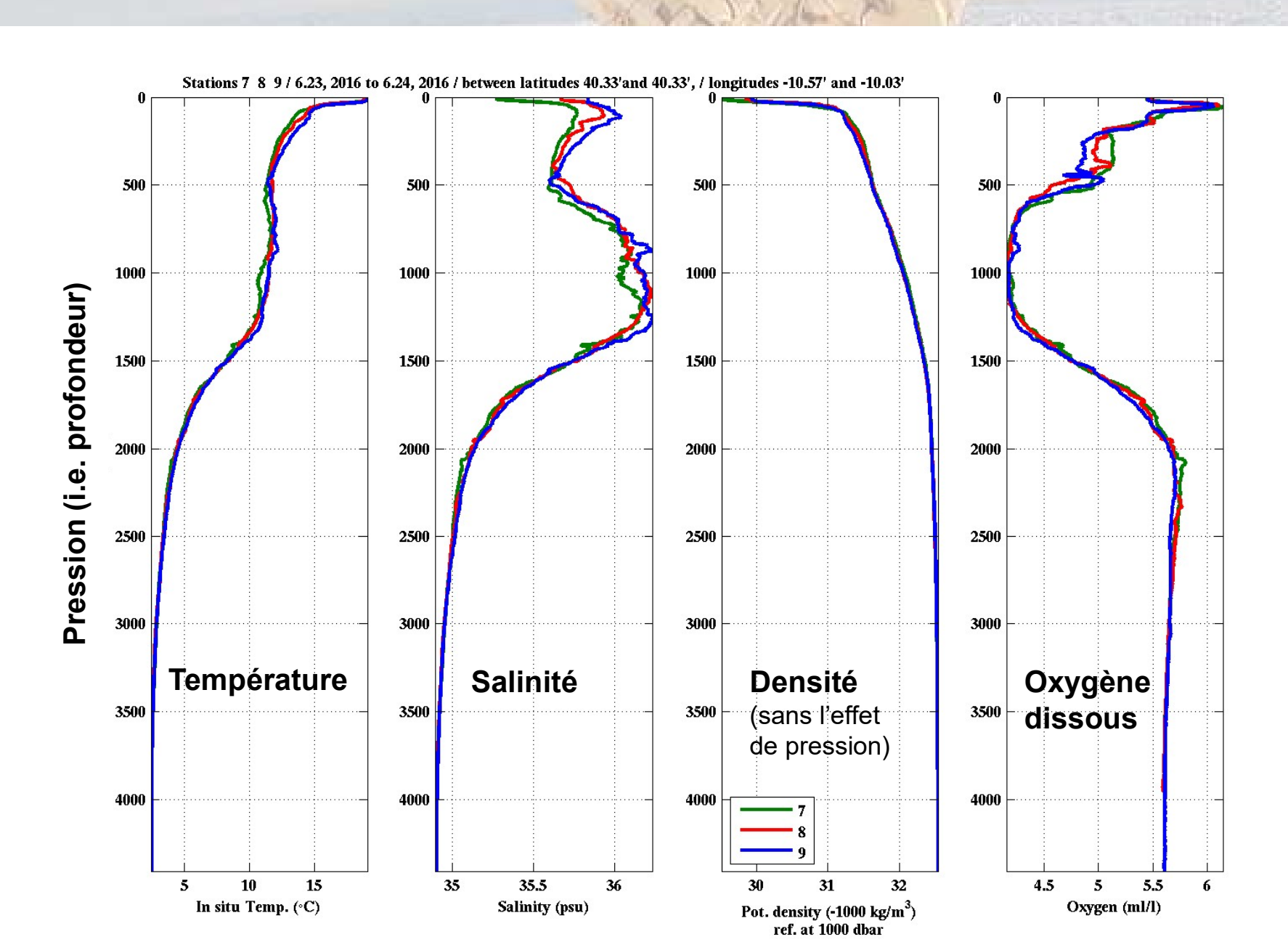
De plus, l'eau n'est pas complètement incompressible

La masse volumique (ou densité)

Elle se déduit de la pression, la température et la salinité via une équation non linéaire: $\rho = \rho(P, T, S)$



Profils en 3 points de la plaine abyssale ibérique



Les bases de l'hydrodynamique

- 5 inconnues:
 - u, v et w, les composantes de la vitesse \vec{V}
 - Pla pression
 - ρ la masse volumique
- La loi de Newton: $\vec{F} = m\vec{a}$ ou par unité de volume:

$$\vec{F} = \rho \vec{a}$$

• L'équation de continuité: $\frac{\partial \rho}{\partial t} = \vec{\nabla}(\rho \vec{V})$ qui se simplifie dans le cas d'un fluide localement incompressible par

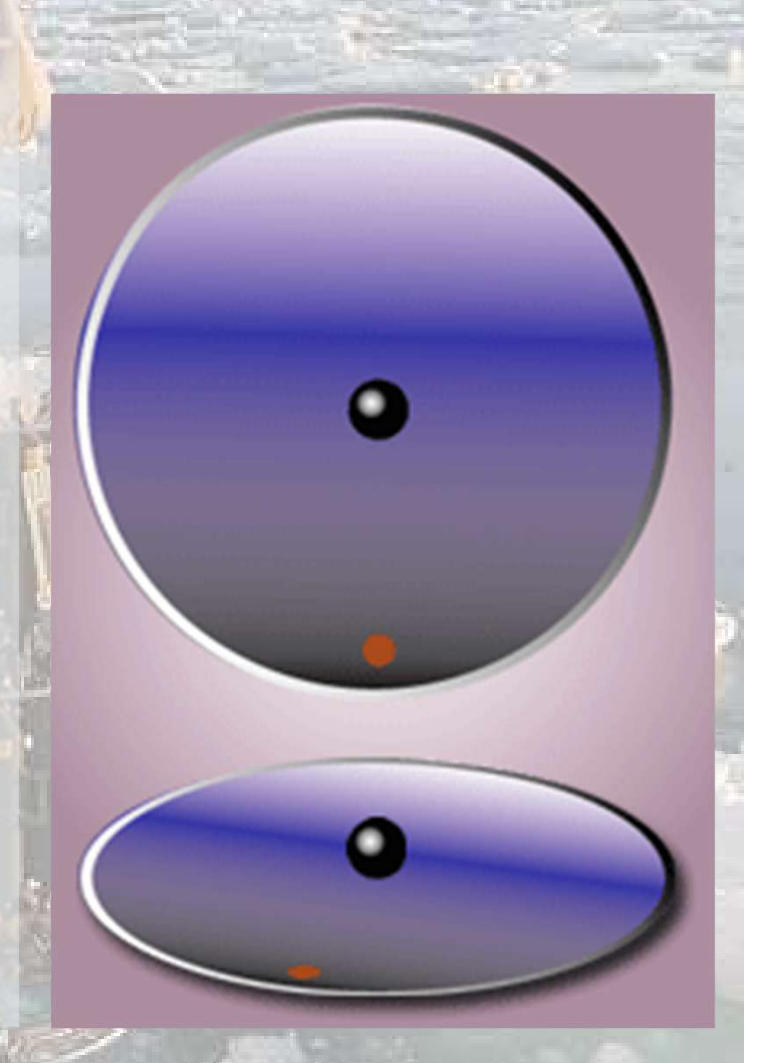
$$\vec{\nabla} \cdot \vec{V} = 0 \Leftrightarrow \frac{\partial u}{\partial x} + \frac{\partial v}{\partial x} + \frac{\partial w}{\partial x} = 0$$

Doglioli, A. M., Petrenko, A. A. (2017), Notes de Cours et Travaux Dirigés de Dynamique Océanique, Université d'Aix-Marseille, Marseille, France.

www.mio.univ-amu.fr/~doglioli/DoglioliPetrenko NotesCoursTD DynamiqueOceanique.pdf

Les forces

- Les différences de pression: $-\overrightarrow{\nabla}P$
- La gravité $\overrightarrow{\rho g}$
- Force de Coriolis: $-2\rho \vec{\Omega} \times \vec{V}$ où $\vec{\Omega}$ est le vecteur de rotation de la Terre
- Frottement du vent et frottement au fond (travaux d'Ekman)
- Frottements liés à la viscosité ν
- Les forces de marée



Les équations de l'hydrodynamique

 Dans l'hypothèse d'un fluide dit newtonien et (localement) incompressible, on obtient:

$$\frac{d\vec{V}}{dt} = -\frac{1}{\rho} \vec{\nabla} P + \vec{g} - 2\rho \vec{\Omega} \times \vec{V} + \nu \vec{\nabla}^2 \vec{V} \text{ soit les équations:}$$

$$\frac{\partial u}{\partial t} + u \frac{\partial u}{\partial x} + v \frac{\partial u}{\partial y} + w \frac{\partial u}{\partial z} = -\frac{1}{\rho} \frac{\partial p}{\partial x} + fv + v \left[\frac{\partial^2 u}{\partial x^2} + \frac{\partial^2 u}{\partial y^2} + \frac{\partial^2 u}{\partial z^2} \right]$$

$$\frac{\partial v}{\partial t} + u \frac{\partial v}{\partial x} + v \frac{\partial v}{\partial y} + w \frac{\partial v}{\partial z} = -\frac{1}{\rho} \frac{\partial p}{\partial y} - fu + v \left[\frac{\partial^2 v}{\partial x^2} + \frac{\partial^2 v}{\partial y^2} + \frac{\partial^2 v}{\partial z^2} \right]$$

$$\frac{\partial w}{\partial t} + u \frac{\partial w}{\partial x} + v \frac{\partial w}{\partial y} + w \frac{\partial w}{\partial z} = -\frac{1}{\rho} \frac{\partial p}{\partial z} - g + v \left[\frac{\partial^2 w}{\partial x^2} + \frac{\partial^2 w}{\partial y^2} + \frac{\partial^2 w}{\partial z^2} \right]$$

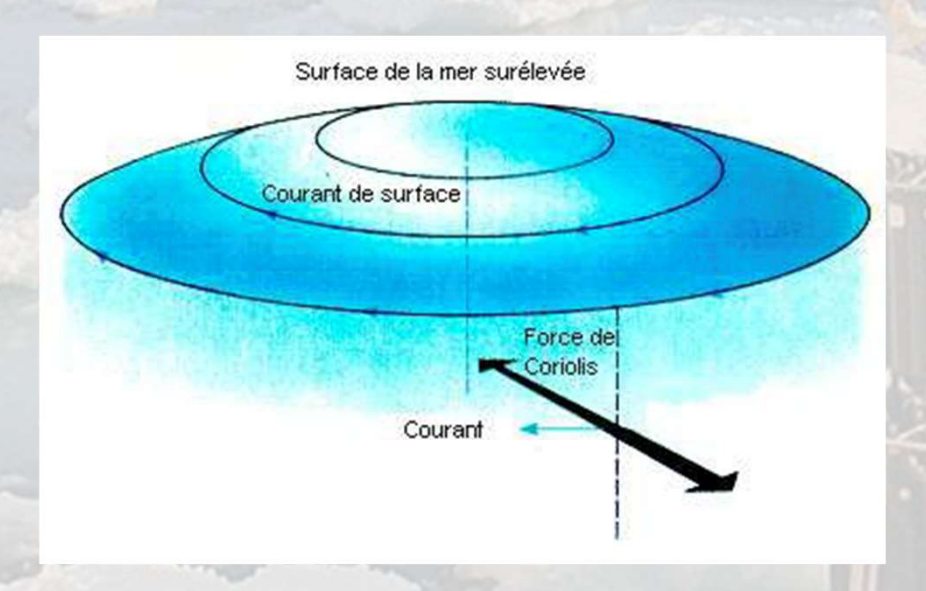
(f est le facteur de Coriolis: $f = 2\omega \sin \Phi$, Φ la latitude)

• auxquelles on ajoute l'équation de continuité qui combinée à l'incompressibilité donne $\vec{\nabla} \cdot \vec{V} = 0$ soit:

$$\frac{\partial u}{\partial x} + \frac{\partial v}{\partial y} + \frac{\partial w}{\partial z} = 0$$

La circulation océanique à grande échelle

A grande échelle, pour regarder les grands équilibres stationnaires loin des couches limites, on peut simplifier les équations. C'est ce qu'on appelle l'équilibre géostrophique:



$$\begin{cases} \frac{1}{\rho} \frac{\partial P}{\partial x} = fv \\ \frac{1}{\rho} \frac{\partial P}{\partial y} = -fu \\ \frac{\partial P}{\partial z} = -\rho g \end{cases}$$

L'équilibre est atteint quand les courants sont perpendiculaires aux gradients de pression, donc le long des isobares.

Les grands courants géostrophiques

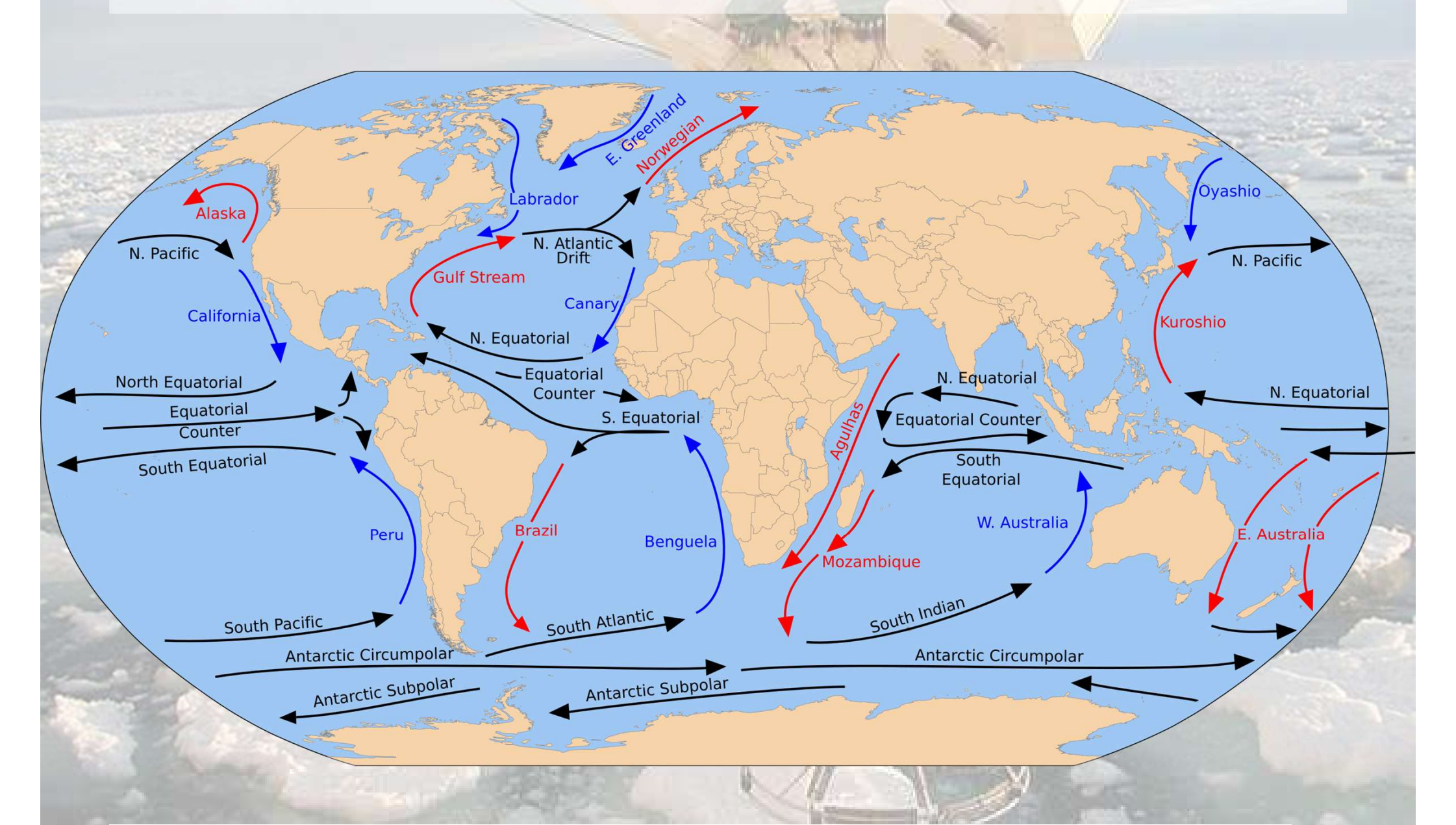
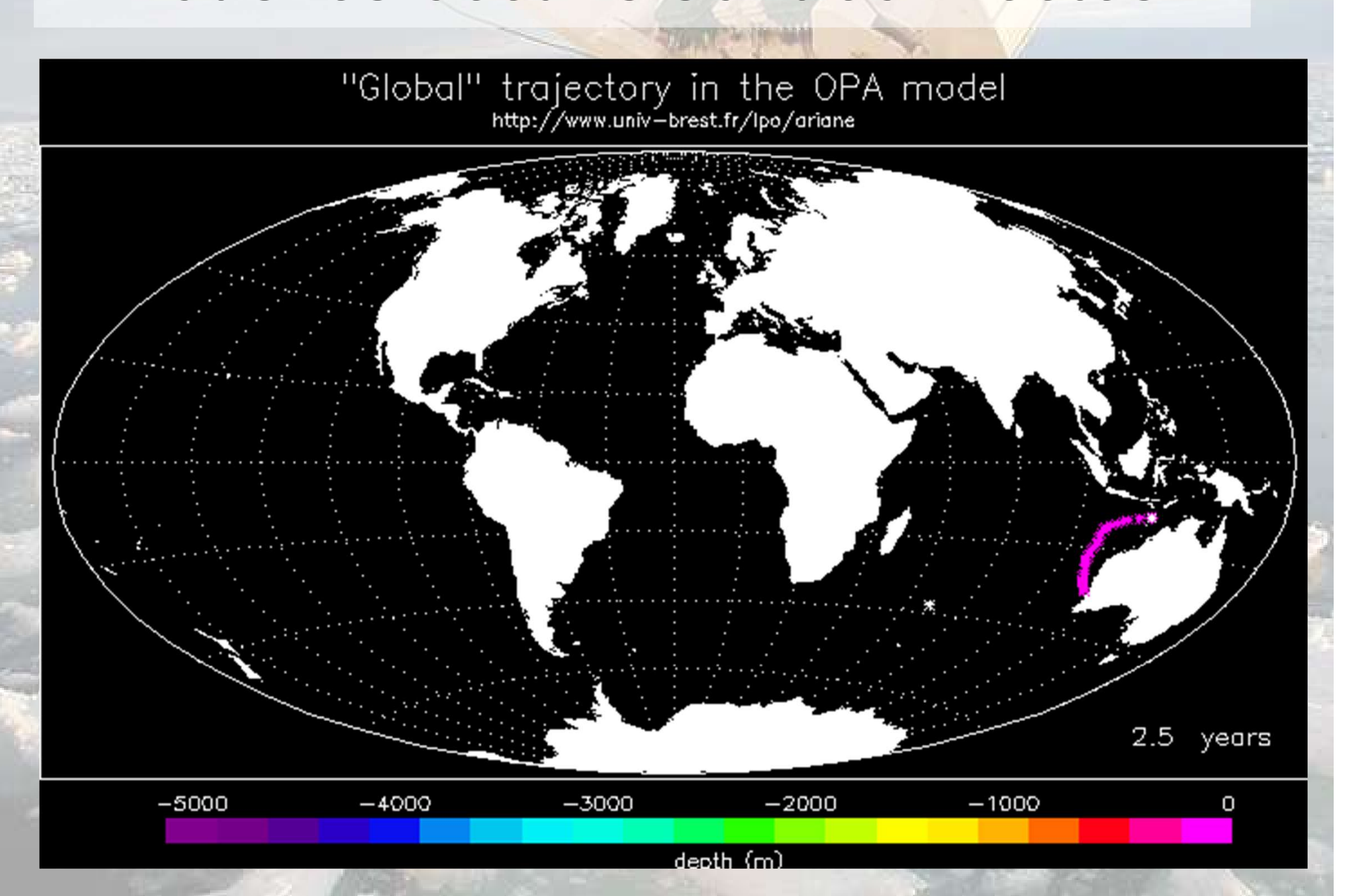
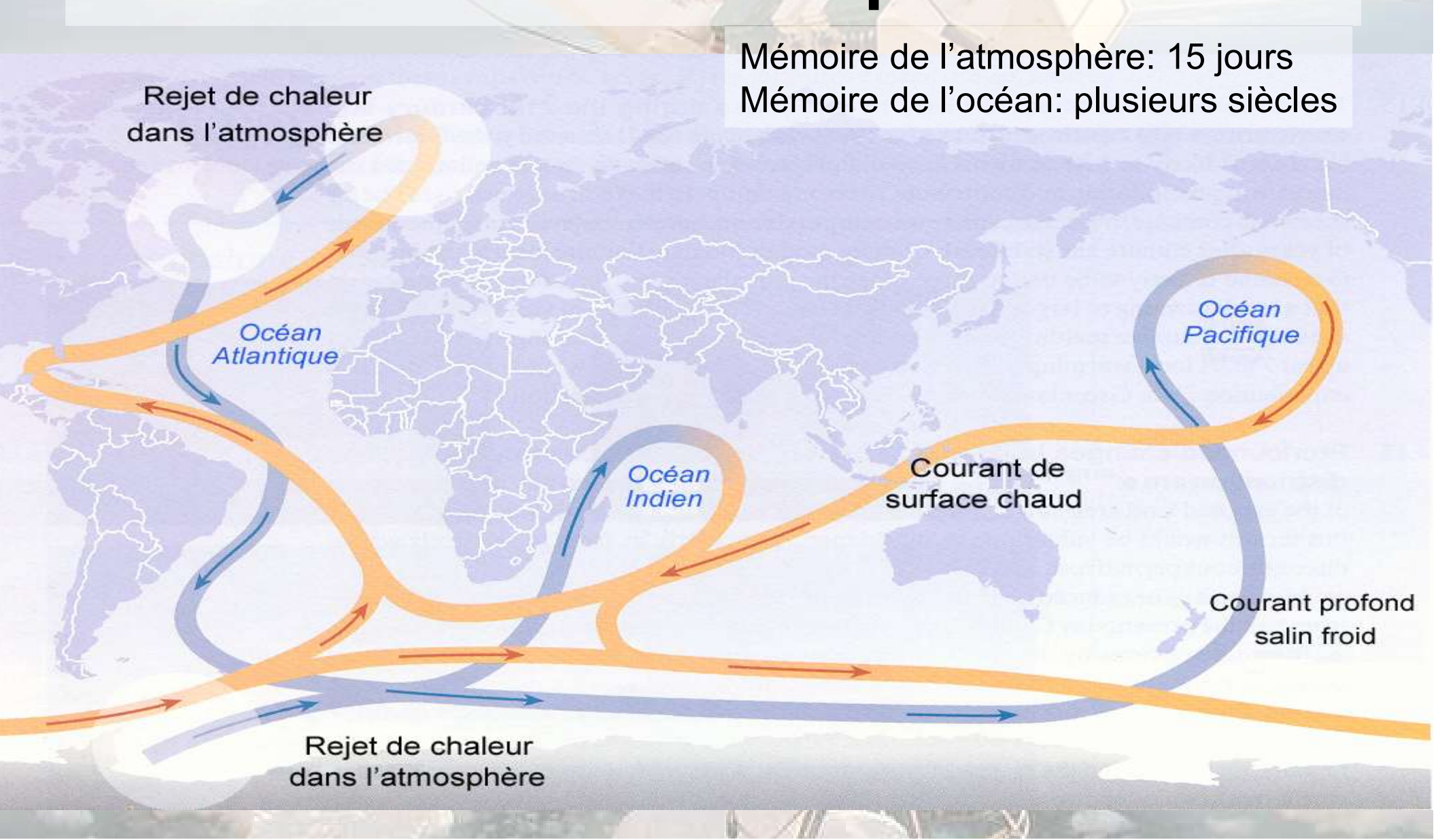


Figure tirée de https://fr.wikipedia.org/wiki/Courant_marin

Tous les océans sont connectés



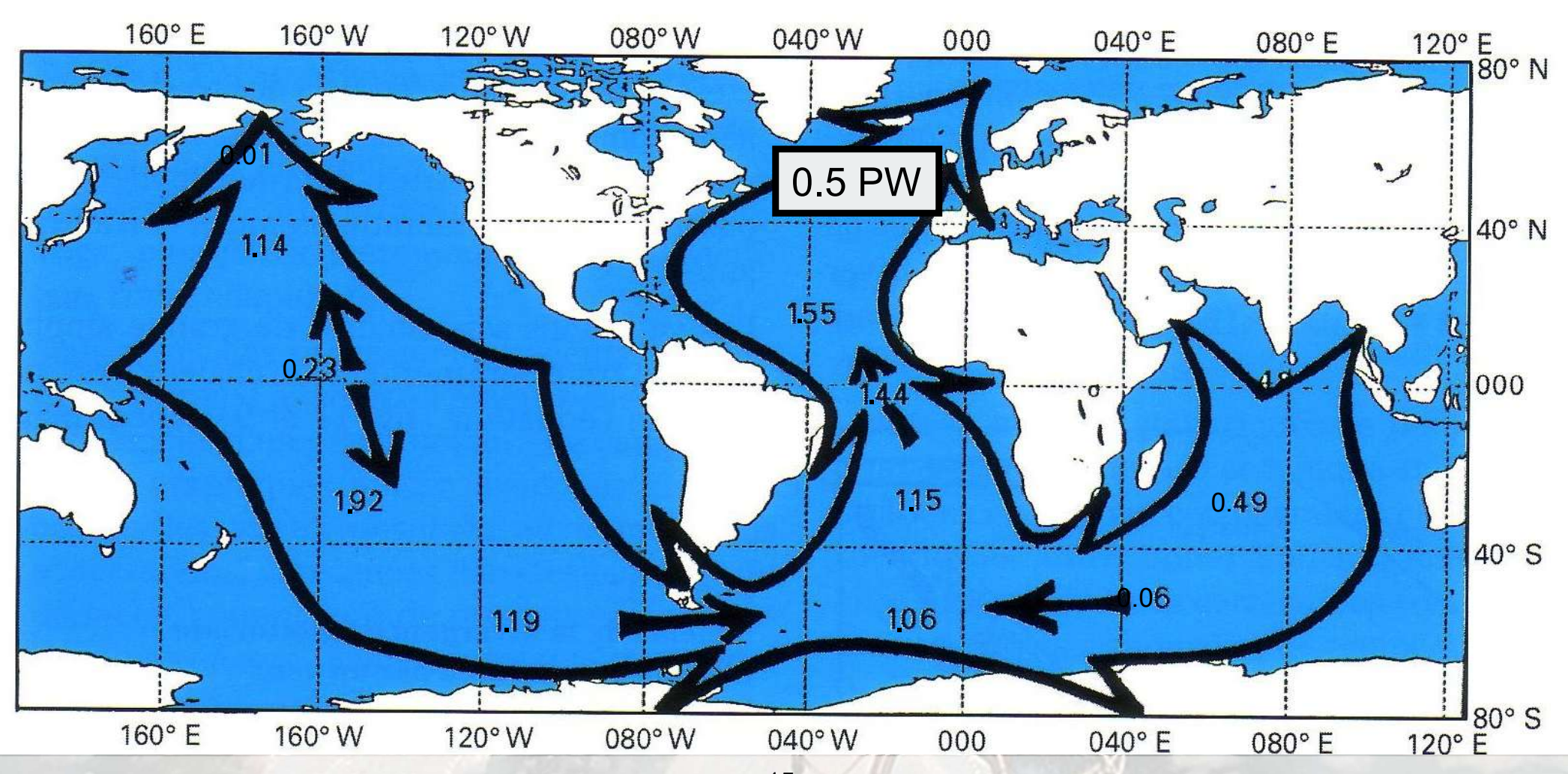
La circulation océanique mondiale



Le courant Nord Atlantique est un moteur de la grande boucle verticale de courants, appelée Meridional Overturning Circulation (MOC, parfois « tapis roulant » dans les médias).

L'océan assure la répartition de la chaleur sur la Terre

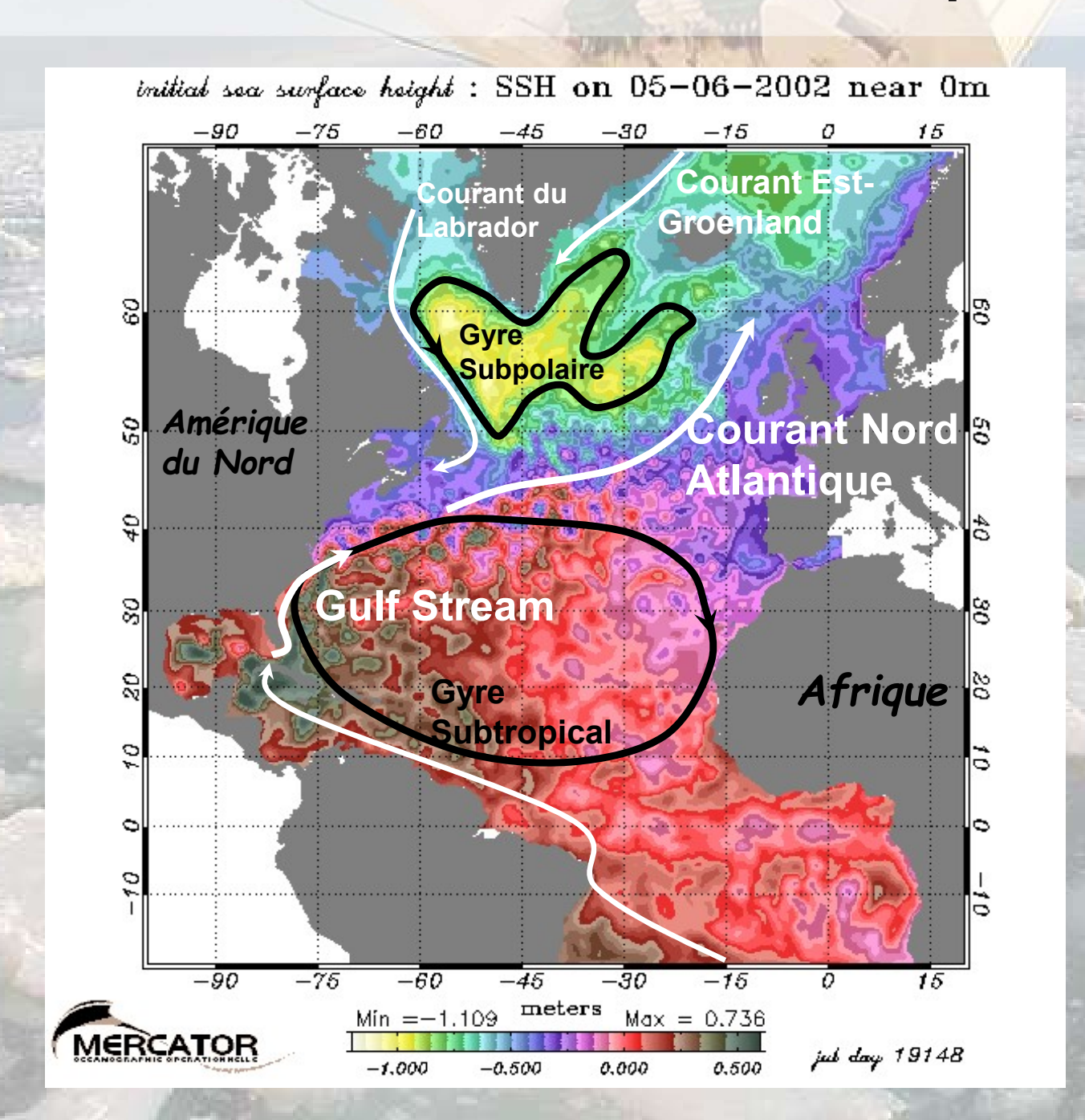
Le transport de chaleur par l'océan est responsable d'une élévation de 2°C de la température en Europe du Nord, ainsi que de la limite très septentrionale des glaces de mer.



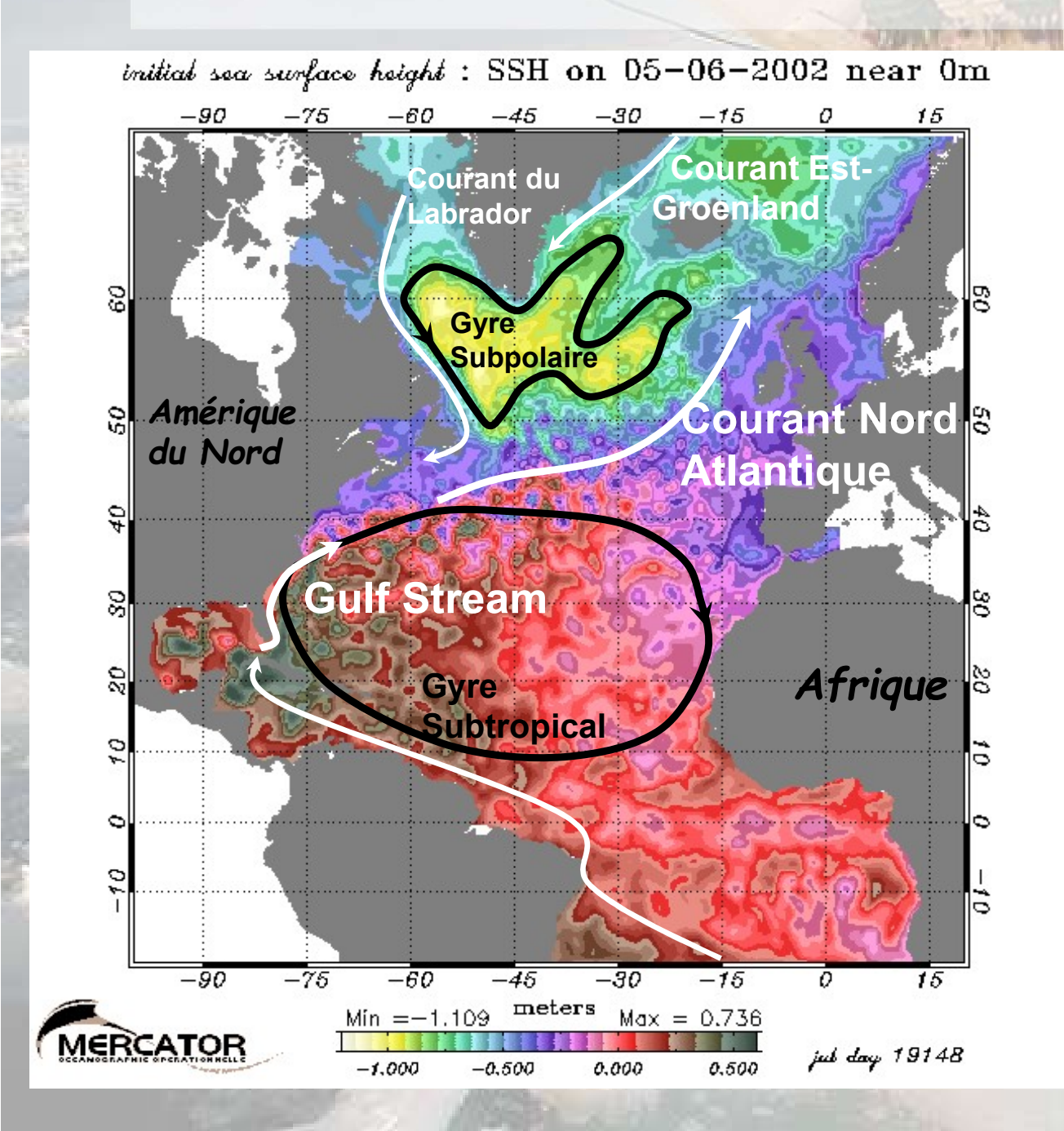
Transport de chaleur océanique en PW (10^{15} W = 1 million de GigaW). 1 PW ~ 200 000 centrales nucléaires et 200 fois la consommation mondiale d'électricité Données de Stommel (1982) ; Courtoisie de J. Merle



Circulation de surface de l'Atlantique nord



Circulation de surface de l'Atlantique nord



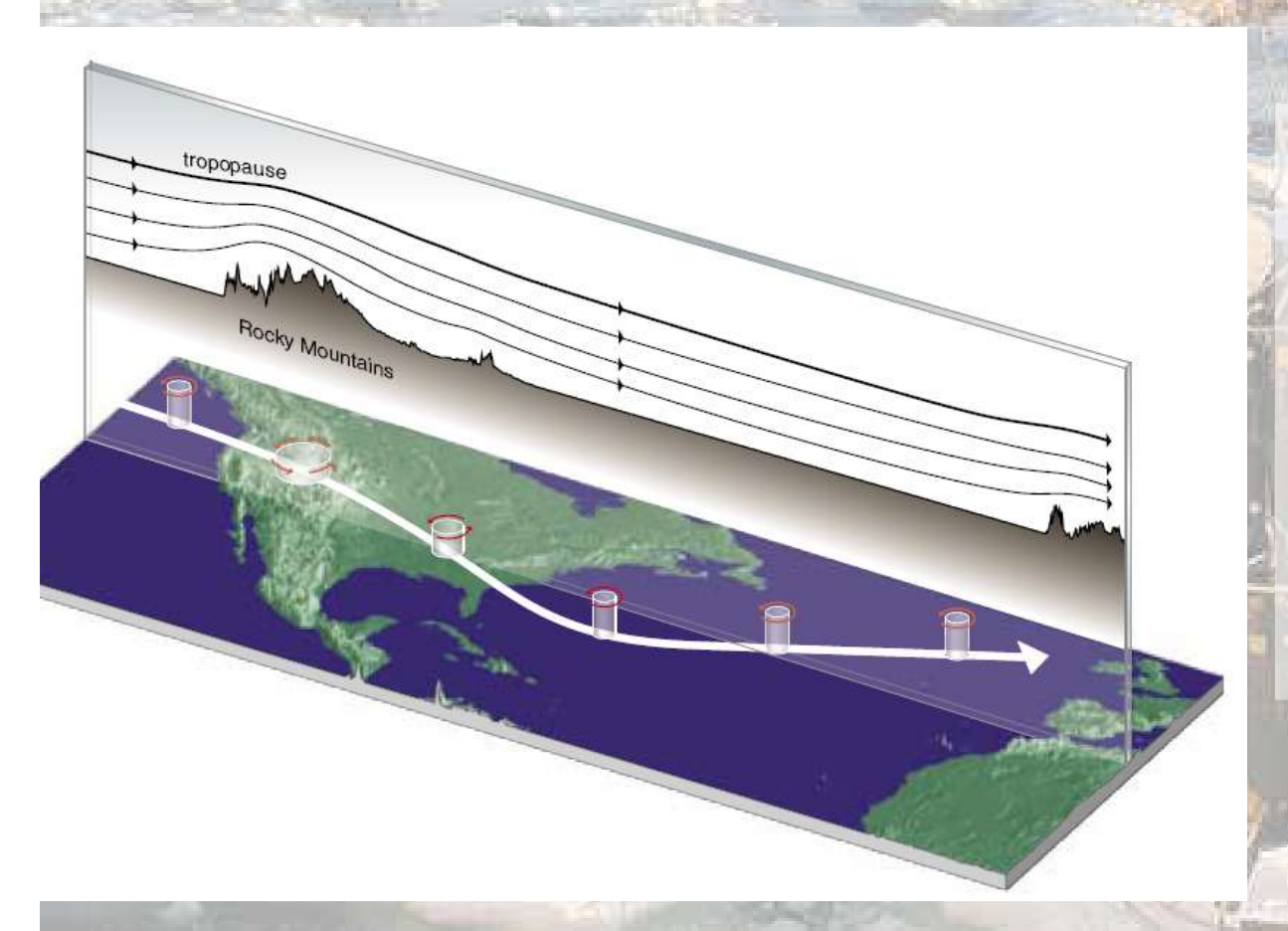
Le Gulf Stream est stable car c'est une réponse de l'océan aux grands régime de vents (alizées et vents d'ouest)

Alors que le Gulf Stream n'est pas susceptible de varier, sa répartition entre les 2 branches l'est.

- Quand on parle d'arrêt du Gulf Stream, on se réfère en fait à l'arrêt du Courant Nord Atlantique.

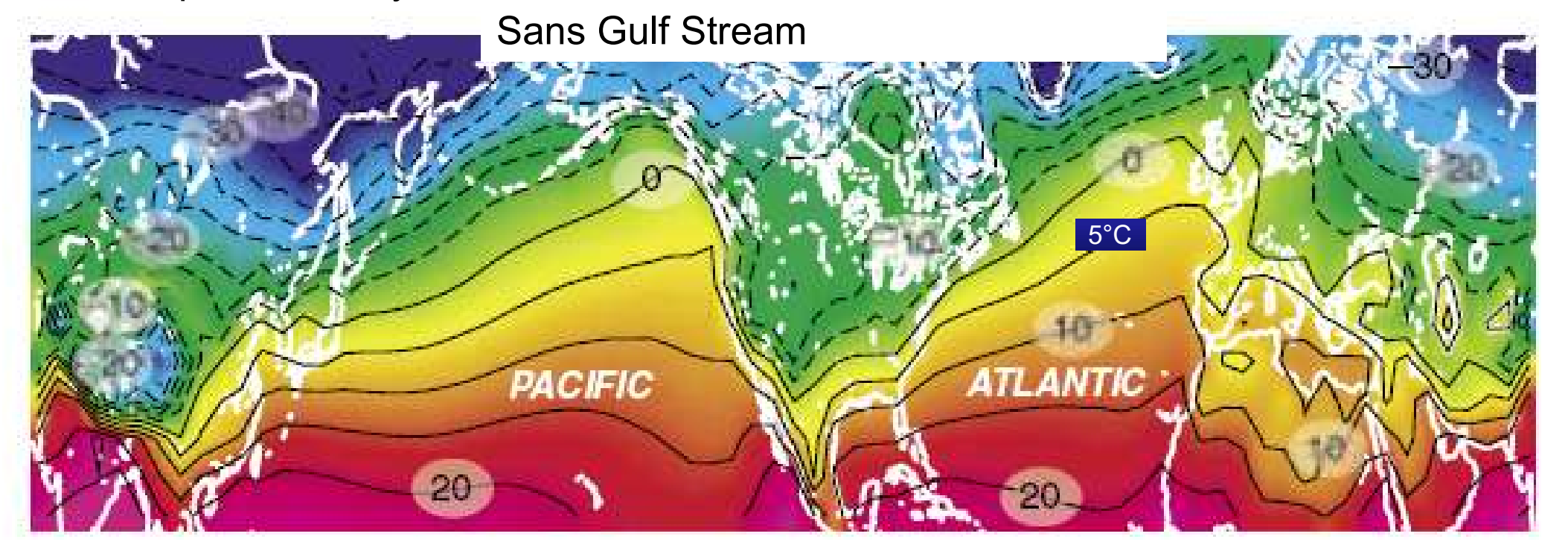
Le mythe du Gulf Stream

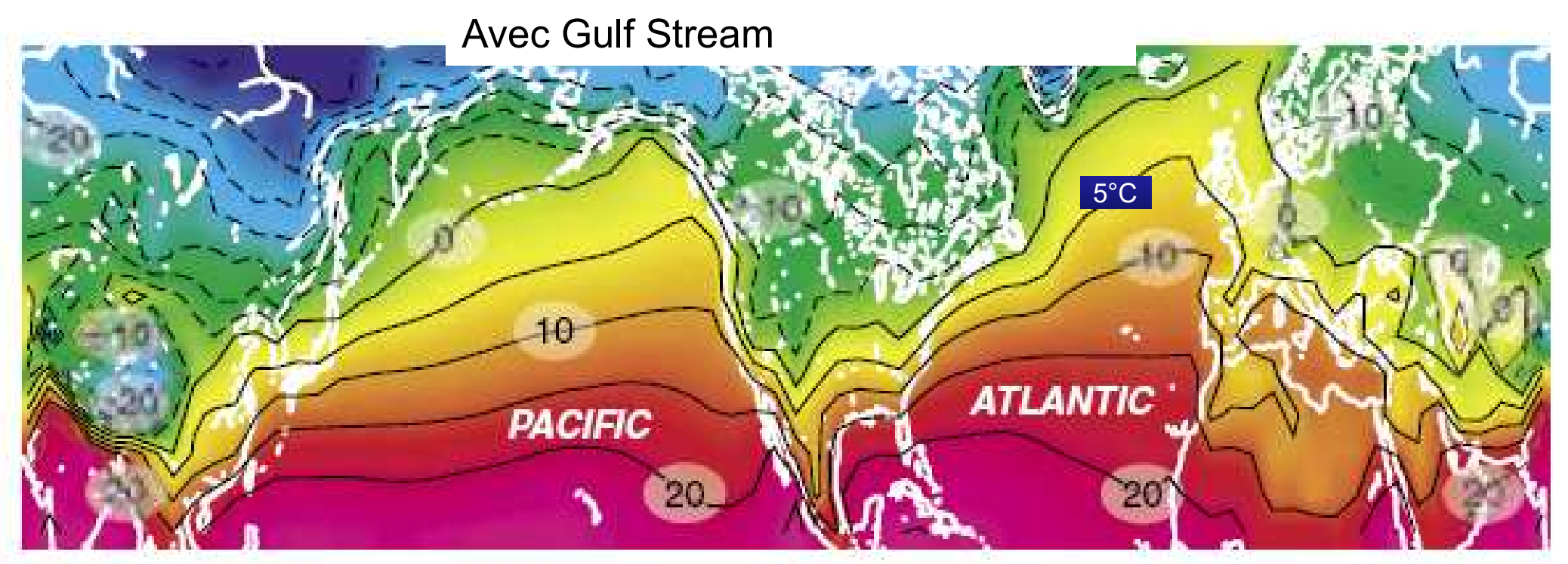
From Richard Seager (La Recherche, 2003; American Scientist, 2006)



80% de la chaleur excédentaire en <u>Europe</u> en hiver, comparée aux côtes est des Etats-Unis, provient des vents d'ouest-sud-ouest qui apportent la chaleur que l'océan a stocké l'été précédent, indépendamment de tout courant.

Température moyenne de l'air en janvier

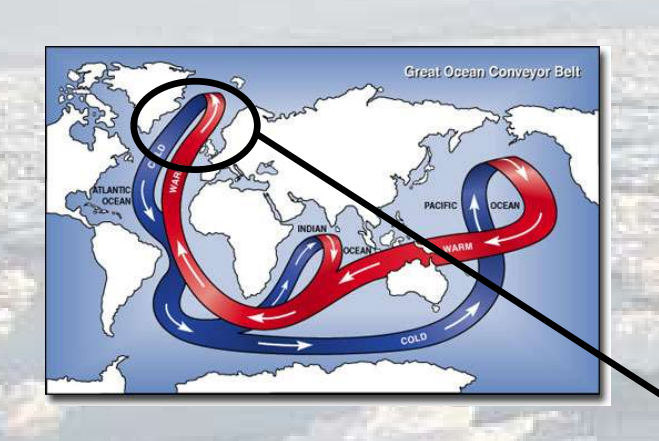




Mais le Courant Nord Atlantique ...

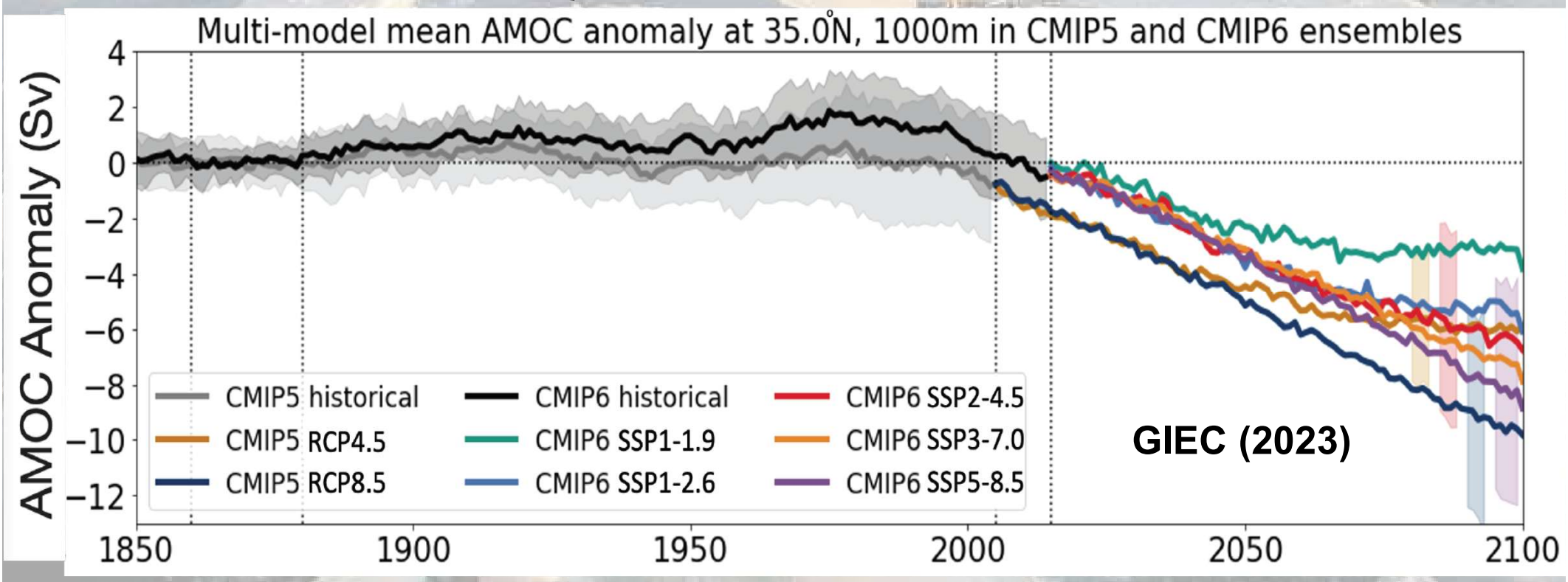
- · est la branche du Gulf Stream qui va vers l'Arctique
- · est critique dans l'équilibre climatique de la Terre
- a une contribution non négligeable sur le climat au nord de l'Ecosse,
- · contribue à limiter l'étendue des glaces de mer,
- est une composante importante de la pompe de carbone océanique

Modification du « tapis roulant »



Le Courant Nord-Atlantique constitue la branche haute de la MOC

Le debit des courants et de la MOC se mesurent en "Sverdrup": $1 \text{ Sv} = 1 \text{ million de m}^3/\text{s}$



Ralentissement de la circulation thermohaline en Atlantique Nord?

- Les modèles de climat (GIEC) prévoient un ralentissement de la circulation en Atlantique Nord, mais l'incertitude est grande.
- Ce phénomène a-t-il déjà commencé ? Les avis des scientifiques divergent.



FIGURE 6.10

Figure 6.10 | Infographic on teleconnections and impacts due to Atlantic Meridional Overturning Circulation (AMOC) collapse or substantial weakening. Changes in circulation have multiple impacts around the Atlantic Basin, but also include remote impacts in Asia and Antarctica. Reductions in AMOC lead to an excess of heat in the South Atlantic, leading to increased flooding, methane emissions and drought, and a concomitant negative impact on food production and human systems. In the North Atlantic region hurricane frequency is decreased on the western side of the basin, but storminess increases in the east. Marine and terrestrial ecosystems, including food production, are impacted while sea level rise (SLR) is seen on both sides of the Atlantic. The arrows indicate the direction of the change associated with each icon and is put on the significant of the confidence level in the understanding of the processes at play is indicated below each arrow.



DOWNLOAD



https://www.ipcc.ch/srocc/chapter/chapter-6/https://doi.org/10.1017/9781009157964.008



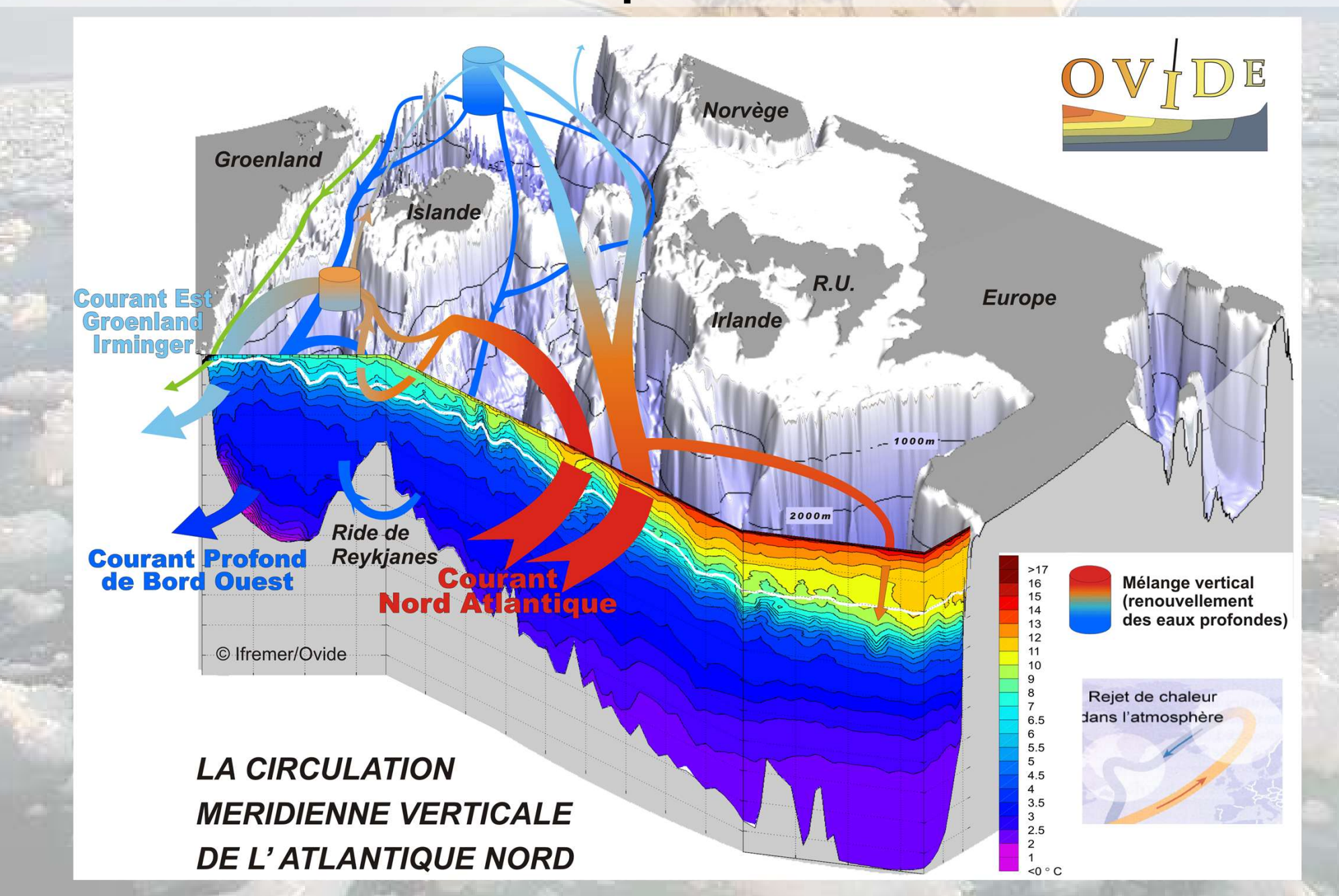
Une contribution française: le programme OVIDE

ARC01 75N AROTE AR28 A02 A05 (RAPID) Hiah frea

OVIDE = la section A25, tous les 2 ans depuis 2002, et portée par la France et l'Espagne

Mesures hydrologie (T,S)
Mesures de courant
Mesures du mélange
Mesures biogéochimiques
Déploiements Argo
Eléments traces et isotopes
en 2014

Circulation méridienne verticale (MOC) vue par OVIDE



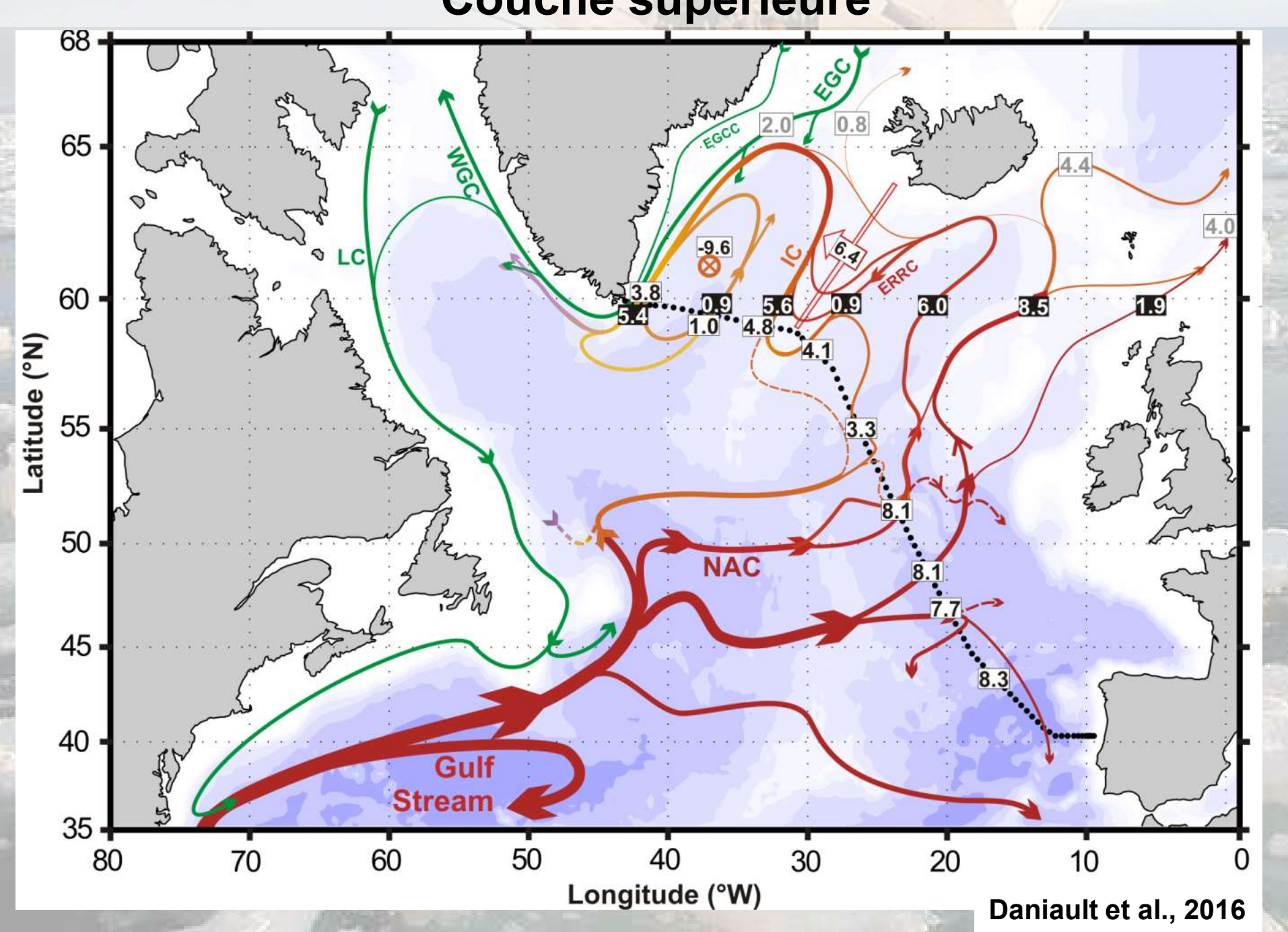
Les objectifs d'OVIDE

- Une étude de la variabilité des principaux courants de l'Atlantique Nord et de la MOC
- Une meilleure connaissance de la variabilité des propriétés des masses d'eau
- Des sections de référence pour les modèles, complémentaires de 2 autres sections répétées en Atlantique Nord
- Des études spécifiques (mouillages près du Groenland, flotteurs ARGO, altimetrie)
- Participe à l'élaboration d'indicateurs de la variabilité du climat



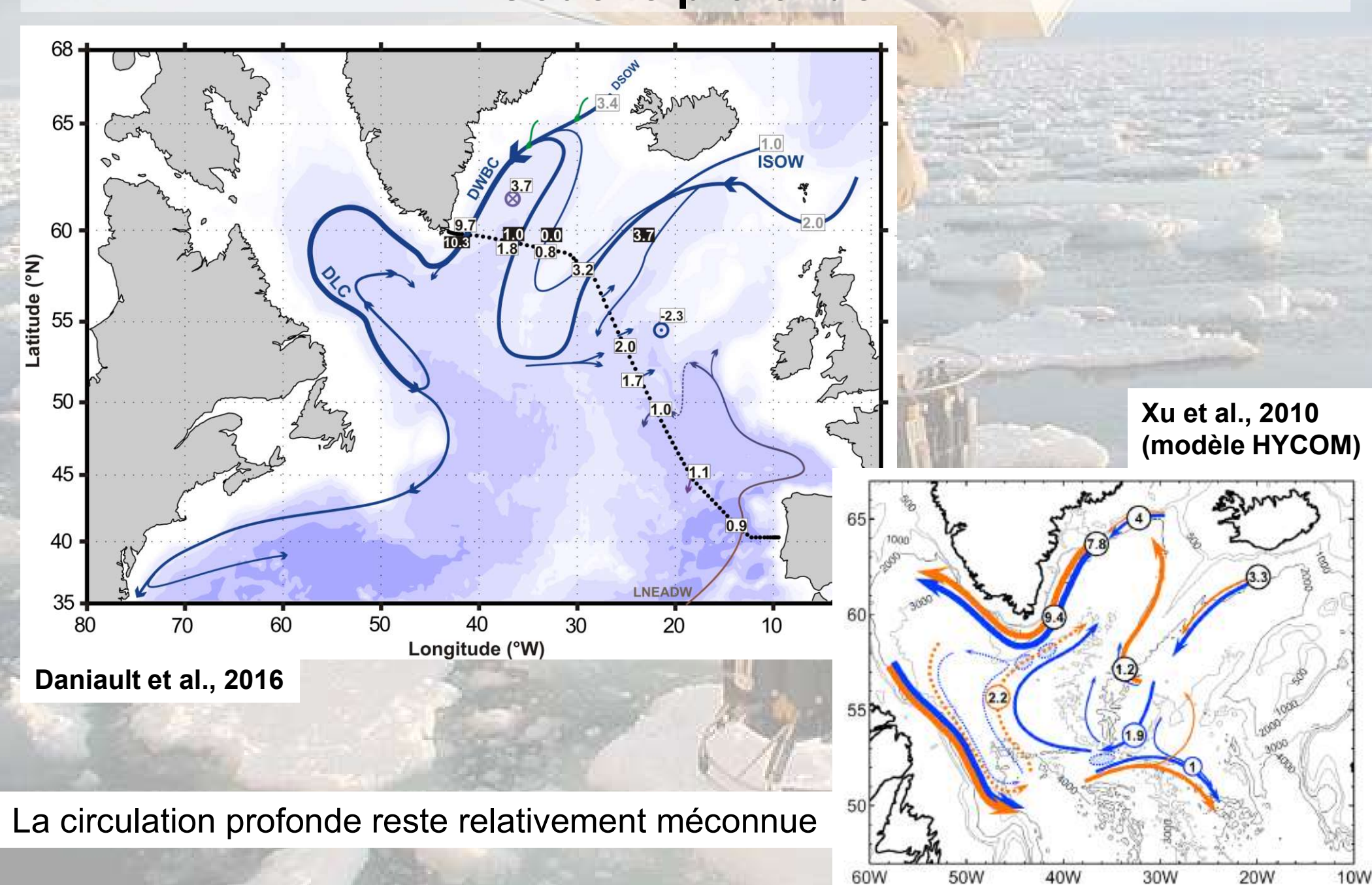
Circulation moyenne des années 2000

Couche supérieure



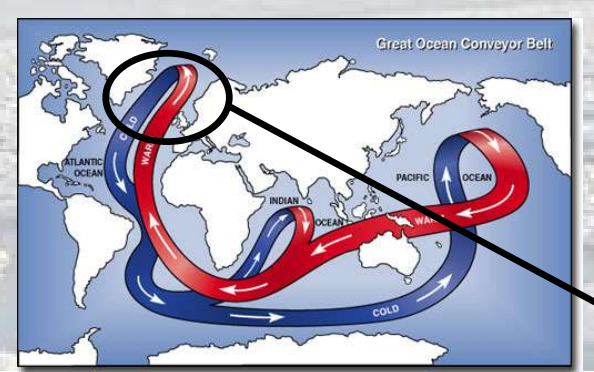
Circulation moyenne des années 2000

Couche profonde



Construction d'un index de la MOC

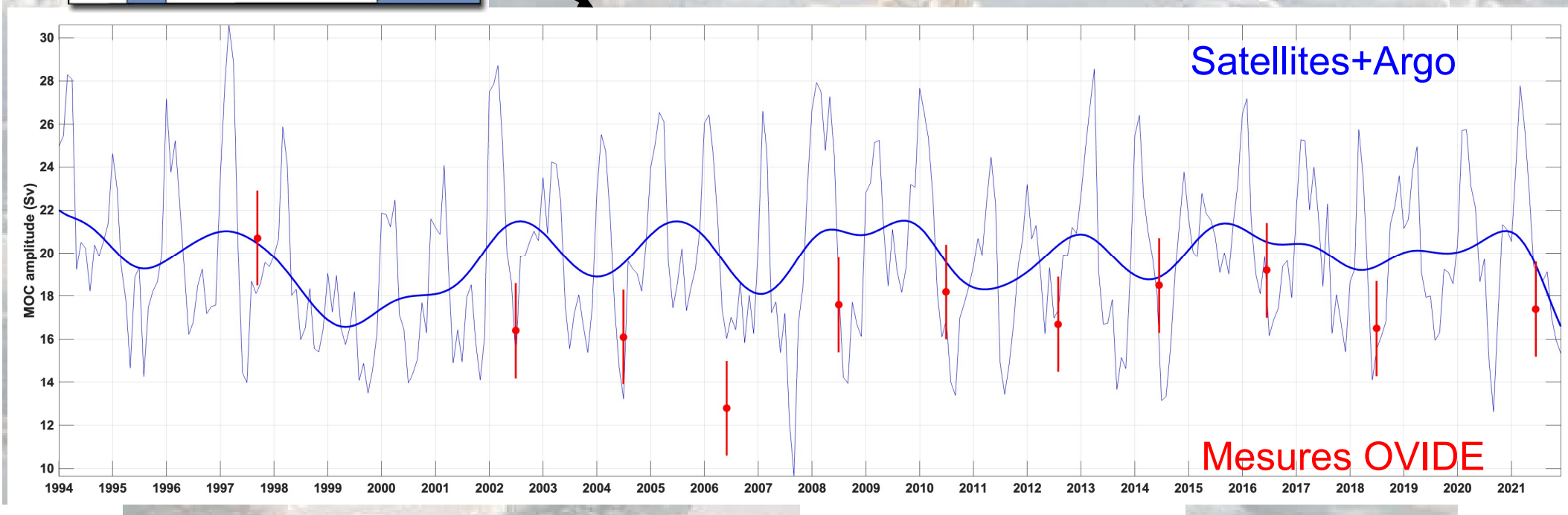
(circulation méridienne verticale)



 $1 \text{ Sv} = 1 \text{ million de m}^3/\text{s}$

~ débit cumulé de toutes les rivières du monde

Amplitude moyenne de la MOC: 19 Sv



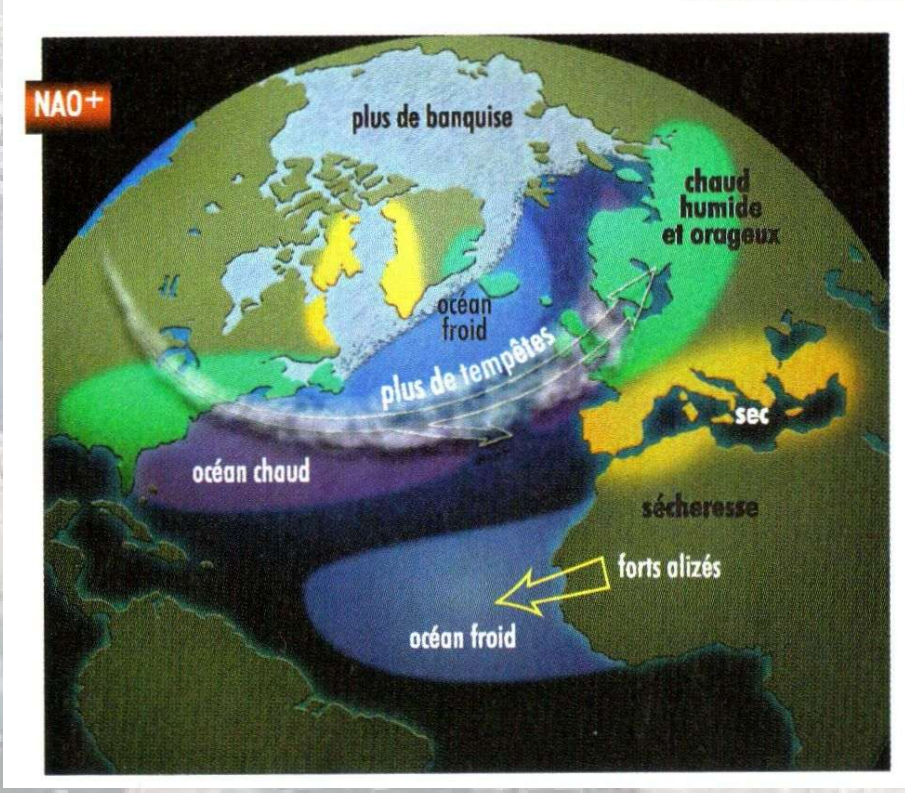
Mercier et al., 2024

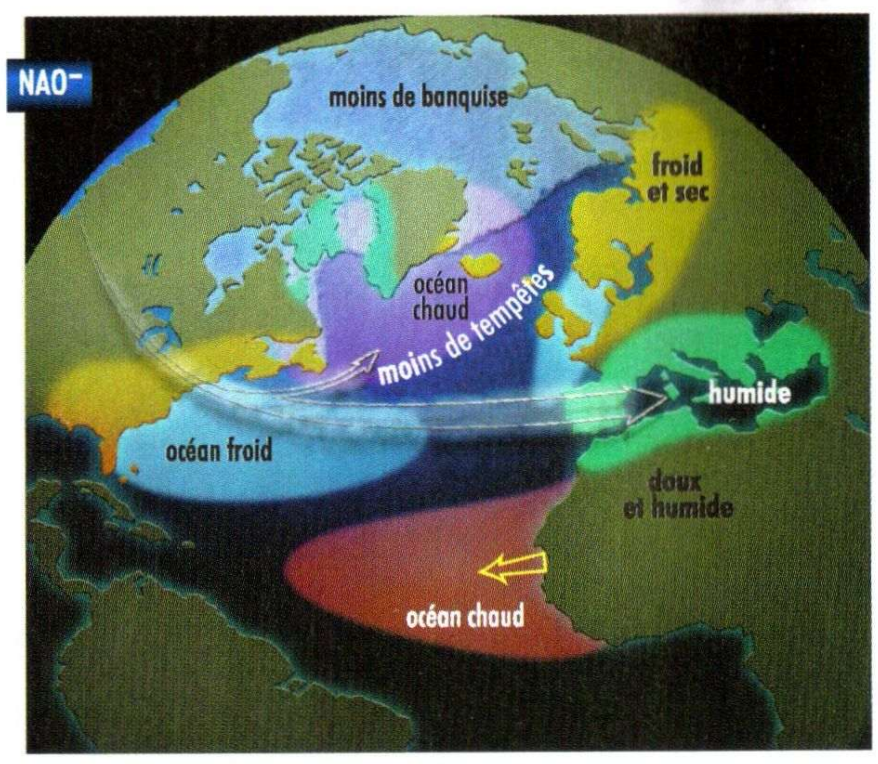
2022

L'oscillation Nord Atlantique

Ce mode de variabilité atmosphérique, prédominant, a une forte influence sur la circulation océanique en Atlantique nord (et sur notre climat!).

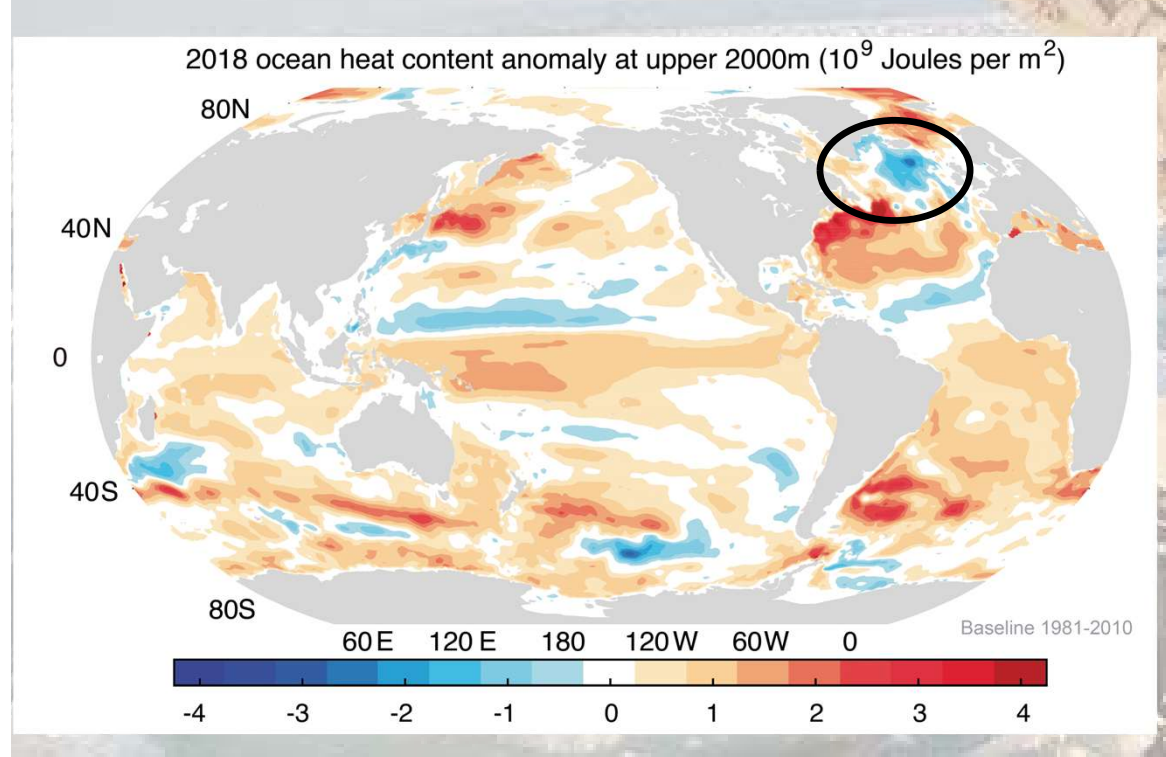
OSCILLATION NORD-ATLANTIQUE





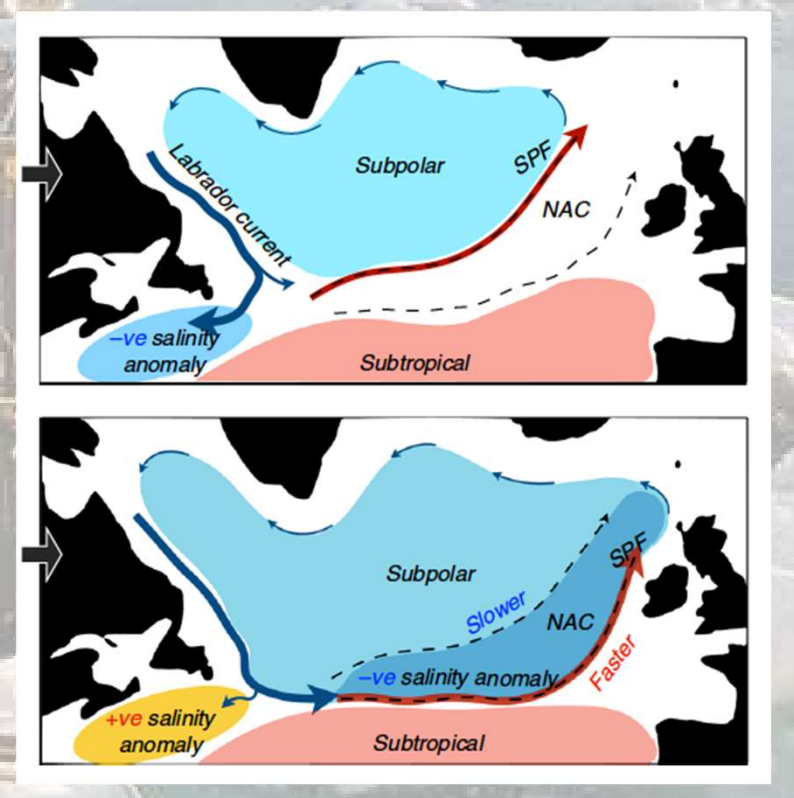
L'œuf et la poule : l'atmosphère agit sur la circulation océanique et sur la température de l'eau de surface, qui en retour agissent sur l'atmosphère ⇒ cycles

Exemple de l'influence des courants sur la distribution spatiale du réchauffement



https://globalclimat.com/2019/03/01/record-dechaleur-pour-les-oceans-en-2018/

La bulle froide en Atlantique nord de 2014 à 2018 serait due à une modification de la route du courant du Labrador



Holliday et al., 2020

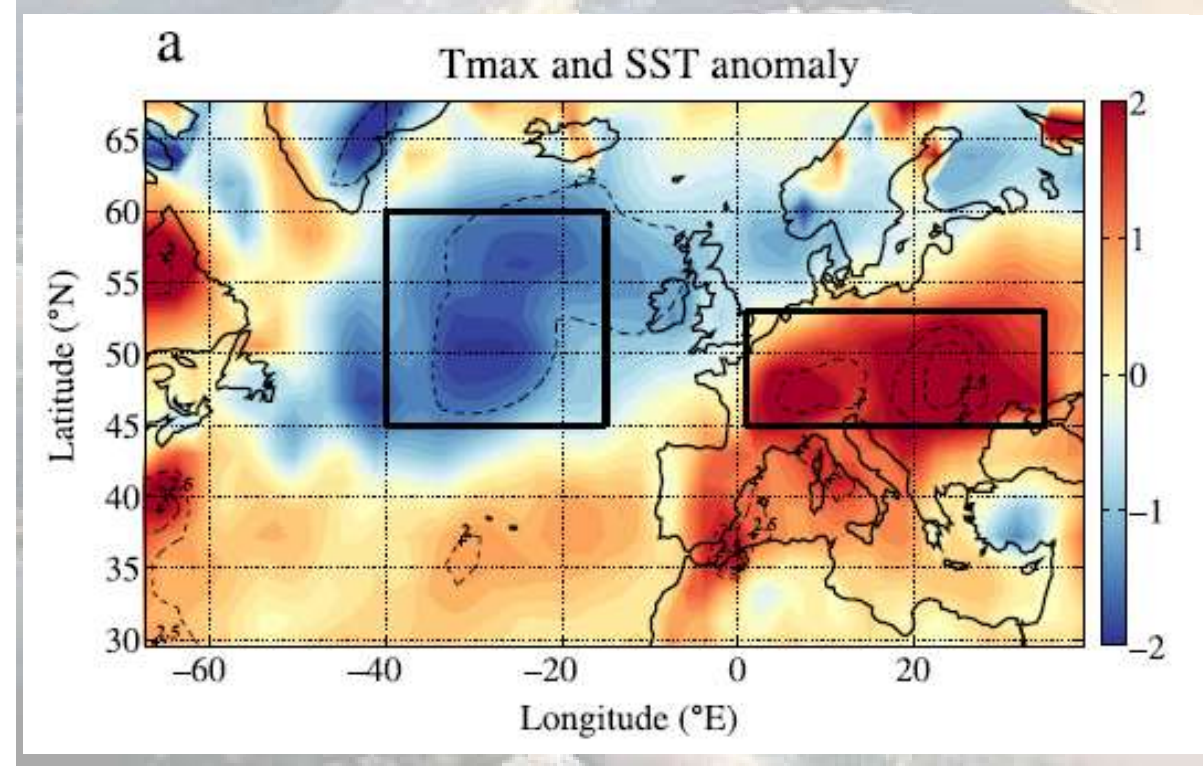
Quelles conséquences?

LETTER

Environ. Res. Lett. 11 (2016) 074004

Drivers of exceptionally cold North Atlantic Ocean temperatures and their link to the 2015 European heat wave

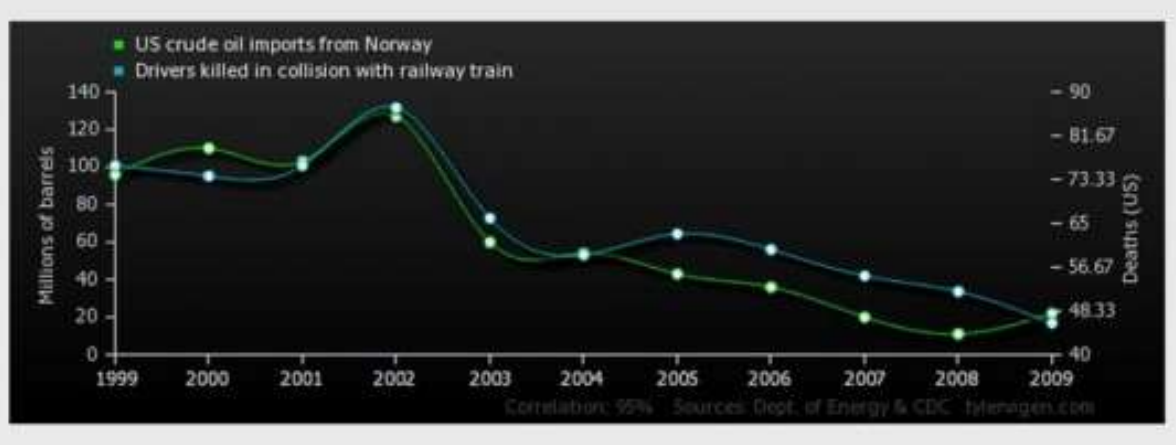
Aurélie Duchez^{1,3}, Eleanor Frajka-Williams², Simon A Josey¹, Dafydd G Evans², Jeremy P Grist¹, Robert Marsh², Gerard D McCarthy¹, Bablu Sinha¹, David I Berry¹ and Joël J-M Hirschi¹



- Corrélation observée pour les 5 plus fortes canicules depuis 1992
- Le Jet Stream est déplacé vers le sud pendant ces périodes
- Faisceau de présomptions, mais mécanismes non élucidés

Se méfier des corrélations ...





	1999	2000	2001	2002	2003	2004	2005	2006	2007	2008	2009
US crude oil imports from Norway Millions of barrels (Dept. of Energy)	96	110	103	127	60	54	43	36	20	11	22
Drivers killed in collision with railway train Deaths (US) (CDC)	76	74	76	87	66	59	63	60	55	52	46

Magnifique corrélation sur 10 ans entre les importations de pétrole brut en Norvège et le nombre de conducteurs de voitures tués par collision avec un train aux US ••

Conclusion

- L'océanographie est une science jeune, en pleine expansion (1 article tous les 2 jours!)
- Le réseau d'observation est maintenant suffisamment mûr pour détecter des anomalies majeures
- Aujourd'hui, la maintenance et l'optimisation de ce réseau d'observation, la coordination internationale et la gestion des bases de données sont des priorités
- Nous avons encore une longue route pour comprendre les processus qui dominent dans la dynamique de l'océan et sa réponse au changement climatique



« Pertpetual Ocean » ©NASA

